



UNIVERSITAS INDONESIA

**PENGUJIAN EFEKTIVITAS PEREDAMAN GELOMBANG DENGAN
RANCANGAN STRUKTUR SEDERHANA BERBENTUK SILINDER**

SKRIPSI

IRAWAN YUDHA ARIYANTO

0606072364

**FAKULTAS TEKNIK
PROGRAM STUDI TEKNIK SIPIL
DEPOK
JUNI 2011**



UNIVERSITAS INDONESIA

**MEASURING EFFECTIVENES OF SIMPLE CYLINDER STRUCTURE TO
DESIPATE WAVE ENERGY**

SKRIPSI

IRAWAN YUDHA ARIYANTO

0606072364

**FAKULTAS TEKNIK
PROGRAM STUDI TEKNIK SIPIL
DEPOK
JUNI 2011**



UNIVERSITAS INDONESIA

**PENGUJIAN EFEKTIVITAS PEREDAMAN GELOMBANG DENGAN
RANCANGAN STRUKTUR SEDERHANA BERBENTUK SILINDER**

SKRIPSI

Diajukan sebagai salah satu syarat untuk memperoleh gelar Sarjana

IRAWAN YUDHA ARIYANTO

0606072364

**FAKULTAS TEKNIK
PROGRAM STUDI TEKNIK SIPIL
DEPOK
JUNI 2011**



UNIVERSITY OF INDONESIA

**MEASURING EFFECTIVENESS OF SIMPLE CYLINDER STRUCTURE
TO DISSIPATE WAVE ENERGY**

UNDER GRADUATE THESIS

**Submitted as a partial fulfillment of the requirement for the degree of
Bachelor of Engineering**

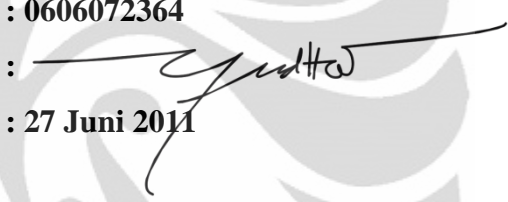
IRAWAN YUDHA ARIYANTO

0606072364

**FACULTY OF ENGINEERING
CIVIL ENGINEERING STUDY PROGRAM
DEPOK
JUNE 2011**

HALAMAN PERNYATAAN ORISINALITAS

**Skripsi ini adalah hasil karya saya sendiri,
dan semua sumber baik yang dikutip maupun dirujuk
telah saya nyatakan dengan benar**

Nama : Irawan Yudha Ariyanto
NPM : 0606072364
Tanda Tangan : 
Tanggal : 27 Juni 2011

PAGE OF ORIGINALITY PRONOUNCEMENT

I declare that this undergraduate thesis is the result of my own research,
and all of the references either quoted or cited here
have been stated clearly.

Name	:	Irawan Yudha Ariyanto
NPM	:	0606072364
Signature	:	
Date	:	June, 27 th 2011

HALAMAN PENGESAHAN

Skripsi ini diajukan oleh:

Nama	:	Irawan Yudha Ariyanto
NPM	:	0606072364
Program Studi	:	Teknik Sipil
Judul Skripsi	:	Pengujian Efektivitas Peredaman Gelombang Dengan Rancangan Struktur Sederhana Berbentuk Silinder

Telah berhasil dipertahankan di hadapan Dewan Pengaji dan diterima sebagai bagian persyaratan yang diperlukan untuk memperoleh gelar Sarjana Teknik pada Program Studi Teknik Sipil, Fakultas Teknik, Universitas Indonesia

DEWAN PENGUJI

Pembimbing 1 : Toha Saleh, S.T., M.Sc



Pembimbing 2 : Ir. Herr Soeryantono, Ph,D

Pengaji 1 : Ir. Siti Murniningsih, M.Sc



Pengaji 2 : RR.Dwinanti Rika M, ST, MT



Ditetapkan di : Depok

Tanggal : 30 Juni 2011

STATEMENT OF LEGIMITATION

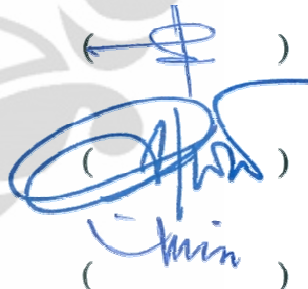
The final project is submitted by:

Name	:	Irawan Yudha Ariyanto
NPM	:	0606072364
Study Program	:	Civil Engineering
Title of undergraduate thesis	:	Measuring Effectiveness of Simple Cylinder Structure to Dissipate Wave Energy

Has been successfully defended in front of the Examiners and accepted as part of the necessary requirements to obtain Bachelor of Engineering Degree in Civil Engineering Program, Faculty of Engineering, University of Indonesia.

BOARD OF EXAMINERS

Councilor 1 : Toha Saleh, S.T., M.Sc



Councilor 2 : Ir. Herr Soeryantono, Ph.D

Examiner 1 : Ir. Siti Murniningsih, M.Sc



Examiner 2 : RR.Dwinanti Rika M, ST, MT

Approved at : Depok

Date : June 30th 2011

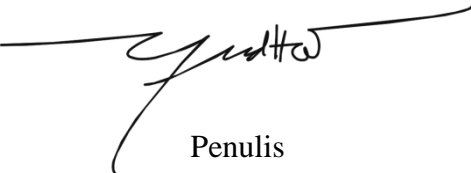
KATA PENGANTAR

Puji syukur kepada Allah SWT karena atas limpahan hidayah-Nya penulisan skripsi dengan judul "**Pengujian Efektivitas Peredaman Gelombang Dengan Rancangan Struktur Sederhana Berbentuk Silinder**" dapat diselesaikan dengan baik. Penulisan skripsi ini dilakukan dalam rangka memenuhi salah satu syarat untuk mendapatkan gelar Sarjana Teknik. Penulis menyadari bahwa tanpa bantuan dan bimbingan dari berbagai pihak, dari semua perkuliahan sampai pada penyusunan skripsi ini, sangatlah sulit bagi penulis untuk menyelesaikan skripsi ini. Oleh karena itu penulis mengucapkan terima kasih kepada :

1. Toha Saleh, S.T., M.Sc dan Ir. Herr Soeryantono, Ph.D. sebagai pembimbing dalam penulisan seminar skripsi ini.
2. Dosen Departemen Teknik Sipil Fakultas Teknik Universitas Indonesia yang sudah mendidik penulis.
3. Orang tua dan keluarga saya yang telah memberikan dukungan material dan moral; dan
4. Semua pihak yang sudah membantu pelaksanaan saat penelitian dan penulisan skripsi ini

Saya menyadari bahwa dalam penulisan skripsi ini masih terdapat kesalahan karena keterbatasan pengetahuan penulis. Oleh karena itu dimohon saran untuk perbaikan skripsi ini.

Depok, 11 Juli 2011



Irawan Yudha Ariyanto
Penulis

HALAMAN PERNYATAAN PERSETUJUAN PUBLIKASI SKRIPSI

Sebagai sivitas akademik Universitas Indonesia, saya yang bertanda tangan di bawah ini:

Nama : Irawan Yudha Ariyanto
NPM : 0606072364
Departemen : Teknik Sipil
Jenis karya : Skripsi

demi pengembangan ilmu pengetahuan, menyetujui untuk memberikan kepada Universitas Indonesia **Hak Bebas Royalti Noneksklusif (Non-exclusive Royalty-Free Right)** atas karya ilmiah saya yang berjudul:

PENGUJIAN EFEKTIVITAS PEREDAMAN GELOMBANG DENGAN RANCANGAN STRUKTUR SEDERHANA BERBENTUK SILINDER

beserta perangkat yang ada (jika diperlukan). Dengan Hak Bebas Royalti Noneksklusif ini Universitas Indonesia berhak menyimpan, mengalihmedia/formatkan, mengelola dalam bentuk pangkalan data (*database*), merawat, dan memublikasikan tugas akhir saya selama tetap mencantumkan nama saya sebagai penulis/pencipta dan sebagai pemilik Hak Cipta.

Demikian pernyataan ini saya buat dengan sebenarnya.

Dibuat di : Depok

Pada tanggal : 11 Juli 2011

Yang menyatakan



(Irawan Yudha Ariyanto)

ABSTRAK

Nama : Irawan Yudha Ariyanto
 NPM : 0606072364
 Program Studi : Teknik Siipil
 Judul Skripsi : Pengujian Efektivitas Peredaman Gelombang Dengan Rancangan Struktur Sederhana Berbentuk Silinder

Terumbu karang buatan berfungsi sebagai habitat baru bagi biota laut dan juga sekaligus dapat berfungsi untuk melindungi pantai dengan meredam energi gelombang. Salah satu aspek penting dalam pemanfaatan terumbu buatan sebagai peredam gelombang terbenam adalah sejauh mana tingkat efektifitasnya dalam mereduksi gelombang.

Penelitian dengan uji model fisik di *tilting flume* ini bertujuan untuk mengetahui korelasi kemiringan gelombang (Hi/gT^2), diameter (D), dan panjang (B) terhadap koefisien refleksi (Kr), koefisien transmisi (Kt) dan koefisien kehilangan energi (KL) pada terumbu buatan bentuk silinder sederhana. Data hasil pengujian di laboratorium diolah dan ditampilkan dalam bentuk grafik.

Penelitian ini menunjukkan korelasi antara koefisien dengan parameter prediktor yang dapat digunakan untuk memprediksi nilai koefisien yang dihasilkan. Parameter prediktor yang mempunyai pengaruh paling besar untuk koefisien transmisi Hi/gT^2 dan koefisien kehilangan energi adalah B/L

Pada akhirnya penelitian ini memberikan informasi kinerja peredam gelombang bentuk silinder sederhana sebagai alternatif dalam perancangan peredam gelombang yang ramah lingkungan.

Kata kunci: *breakwater, refleksi, transmisi*

ABSTRACT

Name	:	Irawan Yudha Ariyanto
NPM	:	0606072364
Study Program	:	Civil Engineering
Title of final report	:	Measuring Effectiveness of Simple Cylinder Structure to Dissipate Wave Energy

Artificial reef also has function to improve habitat of fish and other sea creatures, it can also protect the beach by attenuating wave energy without reduce the aesthetics and artistic aspect. An important aspect to be considered in using artificial reefs as submerged breakwater is their effectiveness in reducing or attenuating wave energy

The purpose of this physical model test in wave flume laboratory is to study the correlation of wave steepness (Hi/gT^2), diameter (D) and length (B) to reflection coefficient (K_r), transmission coefficient (K_t), and dissipation coefficient (K_d) at a simple design form of cylinder structure. Experiment data collected from laboratory were processed and displayed in graphical form.

From these experiments equation was developed to show a correlation between coefficient and the predictors parameters that used to estimate the coefficient. Predictor parameters that have the most impact for the reflection coefficient is Hi/gT^2 . While the parameters that have the most impact for the transmission coefficient and dissipation is B/L

The experiments show a correlation between coefficient

The result of this research is expected as initial guidance in using simple design form of cylinder structure. This structure is considered as alternative soft engineering approach in beach protection.

Key word: breakwater, reflection, transmission

DAFTAR ISI

HALAMAN SAMPUL DALAM	i
HALAMAN PERNYATAAN ORISINALITAS.....	v
PAGE OF ORIGINALITY PRONOUNCEMENT	vi
HALAMAN PENGESAHAN.....	vii
STATEMENT OF LEGIMITATION	viii
KATA PENGANTAR	ix
HALAMAN PERNYATAAN PERSETUJUAN PUBLIKASI SKRIPSI.....	x
ABSTRAK	xi
ABSTRACT	xii
DAFTAR ISI.....	xiii
DAFTAR GAMBAR	xvi
DAFTAR TABEL.....	xviii
BAB 1 PENDAHULUAN	1
1.1. Latar Belakang	1
1.2. Perumusan Masalah	3
1.3. Tujuan Penelitian	3
1.4. Manfaat Penelitian	4
1.5. Batasan Penelitian	4
1.6. Sistematika Penelitian	5
BAB 2 LANDASAN TEORI.....	6
2.1. Breakwatwer	6
2.1.1. Berdasarkan Lokasi	6
2.1.2. Berdasarkan Material	8
2.1.3. Berdasarkan Permeabilitas.....	9
2.1.4. Berdasarkan Kondisi Puncak	9
2.1.5. Berdasarkan Panjang.....	12
2.2. Gelombang	13
2.2.1. Energi dan Tenaga Gelombang.....	13

2.3.	Deformasi Gelombang	14
2.3.1.	Gelombang Refleksi.....	15
2.3.2.	Gelombang Transmisi	16
2.4.	Analisa Dimensi	16
2.4.1.	Satuan Fisik.....	17
2.4.2.	Sistem Satuan.....	17
2.5.	Model Analisa	18
2.5.1.	Hukum Froude	19
2.5.2.	Sebangun Geometrik.....	20
2.5.3.	Sebangun Kinematik	21
2.5.4.	Sebangun Dinamik	22
BAB 3 METODOLOGI PENELITIAN		23
3.1.	Diagram Alir Penelitian	23
3.1.1.	Tahapan Persiapan	24
3.1.2.	Tahap Pengumpulan Data	24
3.1.3.	Tahap Pengolahan Data.....	24
3.1.4.	Tahap Analisis.....	24
3.1.5.	Tahap Kesimpulan	24
3.2.	Alat dan Model.....	25
3.3.	Metodologi Pengujian	26
3.3.1.	Analisa Dimensi Dan Analisa Model.....	27
3.3.2.	Pengecekan Alat dan Model.....	27
3.3.3.	Persiapan	28
3.3.4.	Model <i>Set-Up</i>	28
3.3.5.	Pembacaan.....	29
3.3.6.	Variasi Sekenario	30
3.4.	Analisa Dimensi	30
3.5.	Analisa Model	32
BAB 4 DATA DAN ANALISIS PENELITIAN		35
4.1.	Data Penelitian	35
4.1.1.	Koefisien Refleksi.....	35
4.1.2.	Koefisien Transmisi	37

4.1.3. Koefisien Kehilangan Energi	39
4.2. Analisis Data	41
4.2.1. Analisis Regresi	41
4.2.2. Analisis Koefisien Refleksi.....	42
4.2.3. Analisis Koefisien Transmisi	42
4.2.4. Analisis Koefisien Kehilangan Energi.....	43
BAB 5 PENUTUP	45
5.1. Kesimpulan	45
5.1.1. Koefisien Refleksi.....	45
5.1.2. Koefisien Transmisi	46
5.1.3. Koefisien Kehilangan Energi	47
5.2. Saran	47
DAFTAR PUSTAKA	49
LAMPIRAN	51

DAFTAR GAMBAR

Gambar 2.1 Tetrapod Breakwater	8
Gambar 2.2 Pohon Mangrove dan Terumbu Karang	9
Gambar 2.3 Emerged Breakwater	11
Gambar 2.4 Parameter Tentatif Struktur Peredam Gelombang Tunggal	12
Gambar 2.5 Contoh Sebangun Geometrik	21
Gambar 2.6 Contoh sebangun kinematik	22
Gambar 3.1. Diagram Alir Penelitian	23
Gambar 3.2. Tilting Flume	25
Gambar 3.3 Tilting Flume yang Digunakan	25
Gambar 3.4 Model yang Akan Diuji	26
Gambar 3.5. Kondisi Model yang Akan Diuji	26
Gambar 3.6 Diagram Alir Metode Pengujian	27
Gambar 3.7 Pengukuran Dimensi Model	28
Gambar 3.8. Model dalam Tilting Flume	28
Gambar 3.9 Wave Generator	29
Gambar 3.10 Wave Absorption	30
Gambar 3.11 Ilustrasi Permodelan	30
Gambar 3.12 Sketsa Ilustrasi Model	34
Gambar 4.1. Grafik Korelasi Panjang Relatif B/L Terhadap Koefisien Refleksi Gelombang Kr	36
Gambar 4.2. Grafik Korelasi Diameter Relatif D/gT^2 Terhadap Koefisien Refleksi Gelombang Kr	36
Gambar 4.3. Grafik Korelasi Kecuraman Gelombang Hi/gT^2 Terhadap Koefisien Refleksi Gelombang Kr	37
Gambar 4.4 Grafik Korelasi Panjang Relatif B/L Terhadap Koefisien Transmisi Gelombang Kt	38
Gambar 4.5 Grafik Pengaruh Diameter Relatif D/gT^2 Terhadap Transmisi Gelombang Kt	38

Gambar 4.6 Grafik Pengaruh Kecuraman Gelombang Hi/gT^2 Terhadap Transmisi Gelombang Kt	39
Gambar 4.7 Grafik Korelasi Panjang Relatif B/L Terhadap Koefisien Kehilangan Energi KL.....	40
Gambar 4.8 Grafik Korelasi Diameter Relatif D/gT^2 Terhadap Koefisien Kehilangan Energi KL	40
Gambar 4.9 Grafik Korelasi Kecuraman Gelombang Hi/gT^2 Terhadap Koefisien Kehilangan Energi.....	41



DAFTAR TABEL

Tabel 2.1 Pontoon Breakwater	10
Tabel 2.2 Mat Breakwater.....	10
Tabel 2.3 Tethered Float Breakwater.....	11
Tabel 2.4 Gambaran Struktur Gelombang	13
Tabel 2.5 Sistim Dimensi.....	17
Tabel 2.6 Faktor Skala Berdasarkan Hukum Froude	20
Tabel 3.1 Prakiraan Tinggi Gelombang laut di Indonesia	33
Tabel 3.2 Dimensi Model.....	34
Tabel 3.3 Skenario Percobaan Berdasarkan Parameter Keadaan Lingkungan	34
Tabel 4.1. Persamaan Refleksi Gelombang Kr	37
Tabel 4.2. Persamaan Refleksi Gelombang Kt	39
Tabel 4.3. Persamaan Refleksi Gelombang KL	41

BAB 1

PENDAHULUAN

1.1. Latar Belakang

Indonesia sebagai Negara kepulauan memiliki garis pantai yang sangat panjang mempunyai potensi kelautan, perikanan, dan pariwisata yang sangat besar. Adanya berbagai kegiatan merupakan potensi yang sangat penting bagi Indonesia. Potensi yang besar tersebut akan hilang apabila komponen pendukung seperti ekosistem terumbu karang mengalami kerusakan. Rusaknya terumbu karang berpengaruh terhadap kelangsungan hidup ikan dan beragam biota lau lainya. Untuk itu diperlukan suatu upaya pelestarian agar kerusakan terumbu karang dapat dicegah. Salah satu upaya yang dilakukan untuk mengatasi masalah kerusakan terumbu karang tersebut diantaranya dengan transplantasi karang dan teknologi terumbu karang buatan.

Secara konvensional, terumbu karang buatan buatan hanya berfungsi sebagai habitat baru tempat ikan mencari makan, tempat berkembang biak dan pembesaran berbagai biota. Akan tetapi terumbu karang buatan dapat juga digunakan sebagai peredam energi gelombang, sehingga dapat melindungi daerah dibelakangnya tanpa mengurangi estetika pantai semula.

Pada daerah pantai yang ditujukan sebagai kawasan wisata air seperti *snorkeling*, selam (*diving*), dan renang dituntut daerah perairan yang tenang. Salah satu cara untuk menciptakan perairan yang tenang adalah dengan dibangun struktur pemecah gelombang. Keberhasilan penerapan teknologi terumbu buatan ditentukan oleh beberapa faktor diantaranya kesesuaian parameter lingkungan, jenis dan bentuk material, serta kekuatan struktur.

Manfaat terumbu karang buatan adalah untuk melindungi pantai yang tereosi, menciptakan stabilitas garis pantai, sebagai pelindung karang alami, dan pelindung terhadap kawasan wisata. Dalam jumlah yang cukup banyak, terumbu karang buatan dapat mereduksi energi gelombang. Selain itu juga mempunyai kemampuan untuk menghasilkan pusaran dan turbulensi yang menguntungkan

dan menyediakan perlindungan bagi ikan. Reduksi gelombang transmisi yang melewati terumbu karang dipengaruhi oleh panjang gelombang, tinggi gelombang dan bentuk geometri struktur.

Dalam kaitanya dengan fungsi terumbu buatan, maka perlu pertimbangan dalam aspek desain. Desain dan kinerja dari terumbu buatan perlu dianalisis untuk mendapatkan informasi mengenai tingkat reduksi energi gelombang yang paling baik. Kemampuan silinder dalam mengatur pola aliran fluida sangat baik karena adanya peluruhan vortex, adanya gaya drag dan adanya gaya hambat yang menyebabkan peningkatan stabilitas. Besar energi yang melewati struktur bangunan tersebut akan tereduksi karena adanya gaya gesek dan turbulensi antara aliran yang melawati susunan *breakwater*. Aliran yang lolos tersebut dainyatakan sebagai aliran transmisi yang akan menjadi lebih kecil dibanding sebelum melewati. Bentuk ini juga yang paling mudah untuk ditemukan, apalagi untuk diterapkan untuk mateeial alam seperti bambu.

Dalam geometri struktur ini gelombang yang datang dapat dipantulkan dan melewati struktur. Hal tersebut akan menyebabkan terbentuknya suatu *reflection wave* atau gelombang refleksi dan *transmission wave* atau gelombang transmisi. Gelombang refleksi merupakan gelombang yang terjadi akibat pantulan karena mengenai struktur. Sedangkan gelombang transmisi yaitu gelombang yang terjadi setelah mengenai atau melewati suatu struktur. Akibat refleksi dan transmsi gelombang, gelombang datang mengalami perubahan tinggi gelombang, periode gelombang, serta pengurangan energi gelombang dari gelombang yang datang sebelum mengenai struktur. Perbandingan atau rasio antara tinggi gelombang trefleksi (*reflection wave*) yang terjadi dengan tinggi gelombang datang (*incident wave*) atau perbandingan antara perbandingan antaara tinggi gelombang transmisi dengan tinggi gelombang datang merupakan suatu nialai koefisien yang dinamakan dengan koefisien refleksi (*reflection coefficient*) yang disimbolkan dengan (K_r). Sedangkan perbandingan atau rasio antara tinggi gelombang transmisi (*transmission wave*) yang terjadi dengan tinggi gelombang datang (*incident wave*) atau perbandingan antara perbandingan antaara tinggi gelombang transmisi dengan tinggi gelombang datang merupakan suatu nialai koefisien yang dinamakan dengan koefisien transmisi (*transmission coefficient*) yang disimbolkan

dengan (Kt). Nilai koefisien ini dapat digunakan untuk pertimbangan perencanaan konstruksi *breakwater* yang cukup memadai dan ekonomis dari jenis struktur yang sama.

1.2. Perumusan Masalah

Permasalahan yang melatar belakangi diadakan penelitian ini adalah:

- Seberapa besar rasio tinggi gelombang refleksi dan transmisi dengan tinggi gelombang datang yang dinotasikan sebagai nilai koefisien pada tes struktur peredam gelombang tipe silinder sederhana dalam kondisi tidak melimpas.
- Seberapa besar energi gelombang yang diterima oleh peredam gelombang tipe silinder sederhana dalam kondisi tidak melimpas

1.3. Tujuan Penelitian

Tujuan penelitian dalam penelitian ini adalah :

- Menghitung nilai koefisien refleksi (Kr) yang merupakan rasio tinggi gelombang refleksi dengan tinggi gelombang datang akibat kondisi gelombang tidak melimpas pada peredam gelombang silinder sederhana
- Menghitung nilai koefisien transmisi (Kt) yang merupakan rasio tinggi gelombang transmisi dengan tinggi gelombang datang akibat kondisi gelombang tidak melimpas pada peredam gelombang silinder sederhana
- Menghitung nilai koefisien kehilangan energi (KL) yang merupakan energi yang diterima oleh peredam gelombang pada kondisi tidak melimpas
- Mencari korelasi antara koefisien refleksi, transmisi, dan kehilangan energi dengan parameter tinggi gelombang (H) pada variasi panjang model (B), untuk tiap variasi panjang gelombang (L) yang berbeda.
- Mencari korelasi antara koefisien refleksi, transmisi, dan kehilangan energi dengan parameter tinggi gelombang (H) pada

variasi diameter model (D), untuk tiap variasi perioide gelombang (T) yang berbeda.

- Mencari korelasi antara koefisien refleksi, transmisi, dan kehilangan energi dengan parameter tinggi gelombang (H) pada variasi panjang model (B), untuk tiap variasi periode gelombang (T) yang berbeda.

1.4. Manfaat Penelitian

Manfaat yang didapat dari penelitian ini adalah:

- Mengetahui dimensi peredam gelombang yang dibutuhkan untuk gelombang transmisi yang diharapkan apabila gelombang datang diketahui
- Mengetahui besar energi yang diterima oleh peredam gelombang, sehingga diketahui desain strukturnya

1.5. Batasan Penelitian

Beberapa batasan yang dipakai dalam penelitian ini diantaranya :

- Gelombang tidak pecah pada laut dalam
- Arah gelombang satu arah tegak lurus dengan struktur
- Tinggi kedalaman air adalah tetap atau konstan
- Gesekan dasar laut atau bottom friction diabaikan
- Zat cair irrotational (aliran tak rotasi), inviscid (tidak mengalami perubahan viskositas zat cair), dan incompressible (tidak termampatkan)
- Material yang digunakan adalah PVC (*Poly Vinyl Chloride*)
- Dasar perairan rata (horisontal), tetap dan kedap (impermeable)
- Gaya oleh angin diabaikan

1.6. Sistematika Penelitian

Sistematika penulisan penelitian yang digunakan adalah sebagai berikut :

BAB I PENDAHULUAN

Berisikan penjelasan secara umum tentang latar belakang, perumusan dan batasan masalah, tujuan penelitian, batasan penelitian, metodologi penelitian, dan sistematika penulisan.

BAB II LANDASAN TEORI

Berisikan literatur yang memberikan gambaran mengenai teori gelombang dan bangunan pantai.

BAB III METODOLOGI PENELITIAN

Berisikan penjelasan tentang metode penelitian dan prosedur penelitian yang akan dilakukan penulis.

BAB IV HASIL DAN ANALISA PENELITIAN

Berisikan penjelasan tentang hasil penelitian yang telah dilaksanakan berserta analisa mengenai hasil yang didapatkan dari penelitian.

BAB V PENUTUP

Berisikan penjelasan tentang kesimpulan dari penelitian dan saran untuk penelitian yang terkait selanjutnya

BAB 2

LANDASAN TEORI

2.1. Breakwater

Pemecah gelombang bertujuan untuk melindungi pantai atau kegiatan di sepanjang pantai dari gelombang. Adapun prinsip kerja dari bangunan pantai ini antara lain adalah:

- Memperkuat/melindungi pantai/perairan lain (misal kolam pelabuhan) agar mampu menahan laju gelombang.
- Mengurangi energi gelombang yang datang ke pantai.
- Mengubah laju transport sedimen sepanjang pantai.
- Menambah pasokan sedimen pada daerah-daerah yang telah mengalami penggerusan.

Skema *breakwater* memiliki banyak variabel yang menentukan dampak pada garis pantai. Skema tersebut dapat dibagi menjadi berdasarkan lokasi, material, permeabilitas, kondisi puncak, dan panjang.

2.1.1. Berdasarkan Lokasi

Berdasarkan lokasinya, *breakwater* ini ditentukan oleh koneksi terhadap pesisir pantainya. Lokasi *breakwater* ini dibagi menjadi dua macam, yaitu:

a. Offshore Breakwater

Offshore breakwater adalah bangunan yang dibuat sejajar dengan pantai dan berjarak tertentu dari garis pantai. Bangunan ini direncanakan untuk melindungi pantai yang berada di belakangnya dari hantaman gaya gelombang yang dapat mengakibatkan tergerusnya material pantai/erosi pada pantai tersebut. Seperti halnya groin bangunan pelindung pantai jenis ini biasanya dibuat secara seri, tergantung panjang pantai yang dilindungi. Antara satu *breakwater* dengan yang lainnya dipisahkan oleh celah. Melalui celah inilah gaya gelombang yang telah terdifraksi dapat diteruskan ke pantai, tentunya

dengan energi yang lebih kecil. Karena sediment di belakang *breakwater* terlindungi maka akan terbentuk tumpukan sedimen yang biasa di sebut sebagai salien. Jika tumpukan sedimen itu menyentuh *breakwater* dan mengakibatkan terbentuknya daratan baru maka salien yang seperti ini dinamakan tombolo. Offshore *breakwater* bisanya dibuat dalam bentuk rubble mound, dengan armor layer yang berbeda beda. Berikut diberikan ilustrasi mengenai salien, tombolo dan offshore *breakwater*.



Gambar 2. 1 Offshore Breakwaters

b. *Shore-Connected Breakwater*

Berbeda dengan jenis *breakwater* sebelumnya, *breakwater* jenis ini tidak dibangun di perairan lepas, namun masih terhubung dengan daratan pantai. *Breakwater* jenis ini bisanya dibuat dengan tujuan untuk melindungi daerah perairan tertentu, biasanya di bangun di pelabuhan. Seperti yang terdapat pada pelabuhan Internasional Tanjung Priok Jakarta. Fungsi dari *breakwater* jenis ini adalah sebagai bangunan pelindung yang akan meredam/menghambat gaya gelombang yang datang dari laut lepas yang kemudian bertransformasi ke daerah perairan dangkal sehingga gelombang yang berada di belakang *breakwater* tersebut menjadi tenang. Kondisi inilah yang memungkinkan aktivitas bongkar-muat di pelabuhan tersebut.

2.1.2. Berdasarkan Material

Berdasarkan materialnya pembentuknya, *breakwater* dapat dibagi menjadi dua macam, yaitu buatan dan alami:

a. Buatan

Breakwater ini dibuat manusia berdasarkan kebutuhan yang diinginkan agar dapat dimanfaatkan oleh manusia. Material yang digunakan untuk *breakwater* ini dapat berupa beton, tumpukan kerikil, dan banyak macam lainnya. Namun seiring jalanya waktu banyak peneliti membuatnya dengan tujuan sebagai pemicu tumbuhnya terumbu karang



Gambar 2.1 Tetrapod Breakwater

b. Alami

Breakwater ini biasanya terbentuk karena faktor alam. Hal ini menjadikan *breakwater* jenis yang paling bagus karena dapat menyediakan habitat disekelilingnya secara alami. Hal ini juga menjadi pemicu para peneliti untuk membuat *breakwater* berbahan alami. Material dalam *breakwater* ini dapat berupa pohon mangrove, pohon api-api, terumbu karang, bambu, kulit kerang, dan banyak macam lainnya.



Gambar 2.2 Pohon Mangrove dan Terumbu Karang

2.1.3. Berdasarkan Permeabilitas

Selain berdasarkan materialnya klasifikasi brakwater dapat berupa tingkat permeabilitasnya. Berdasarkan tingkat permabilitasnya, klasifikasi ini dibagi menjadi *permeable* dan *impermeable*:

a. *Permeable*

Untuk *breakwater* impermeable memiliki nilai porositas lebih besar dari nol ($\epsilon > 0$). *Breakwater* ini biasanya digunakan untuk meredam gelombang yang datang, sehingga gelombang yang datang dapat diteruskan, dan gelombang yang dipantulkan sangatlah kecil.

b. *Impermeable*

Untuk *breakwater* impermeable tidak memiliki nilai porositas ($\epsilon = 0$). *Breakwater* ini biasanya digunakan untuk memecahkan gelombang yang datang, sehingga gelombang yang ditransmisikan sangatlah kecil, namun gelombang yang direfleksikan besar.

2.1.4. Berdasarkan Kondisi Puncak

Berdasarkan kondisi puncak *breakwater* dapat dibagi menjadi dua macam, yaitu:

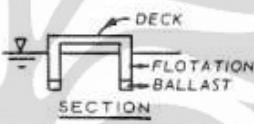
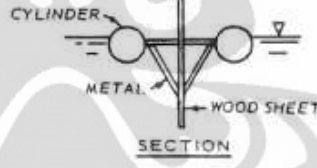
a. *Floating breakwater*

Umumnya digunakan untuk melindungi daerah-daerah yang mengalami iklim gelombang yang tenang dengan perioda gelombang yang sangat pendek. Secara umum *floating breakwater* itu terbagi atas 4 jenis, yaitu *box breakwater*, *pontoon break water*, *mat breakwater*, dan *thetered float breakwater*.



Gambar 2. 2 Box Breakwater

Tabel 2.1 Pontoon Breakwater

PONTOON Twin pontoon		Catamaran shape
Open compartment		Sometime called Alaska type
A frame		
Twin log		Deck is open wood frame

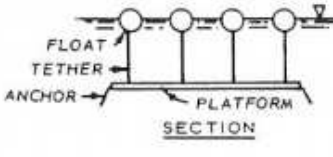
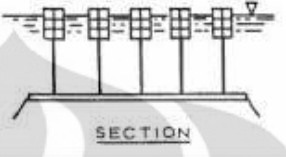
Sumber: www.coastalwiki.org

Tabel 2.2 Mat Breakwater

MAT Tire mat		Scrap tires strung on pole framework or bound together with chain or belting. Foam flotation is usually need
Log mat		Log raft chained or cabled together

Sumber: www.coastalwiki.org

Tabel 2.3 Tethered Float Breakwater

TETHERED FLOAT Sphere		Float placed in rows
Tire		Arrangement similar to spheres. Steel drums with ballasts can be used instead of tires

Sumber: www.coastalwiki.org

b. Submerged Breakwater

Breakwater ini memiliki puncak dibawah permukaan air. Apabila terjadi gelombang yang datang maka gelombang tersebut akan teredam. *Breakwater* tipe ini memiliki kelebihan di bidang estetika, karena permukaan *breakwater* tidak tampak ke permukaan. *Breakwater* ini juga mendekati dengan bentuk terumbu karang.

c. Emerged brakwater

Breakwater ini memiliki bentuk yang menjulang dari dasar hingga ke atas permukaan. Biasanya bangunan ini dibangun di pelabuhan.



Gambar 2.3 Emerged Breakwater

2.1.5. Berdasarkan Panjang

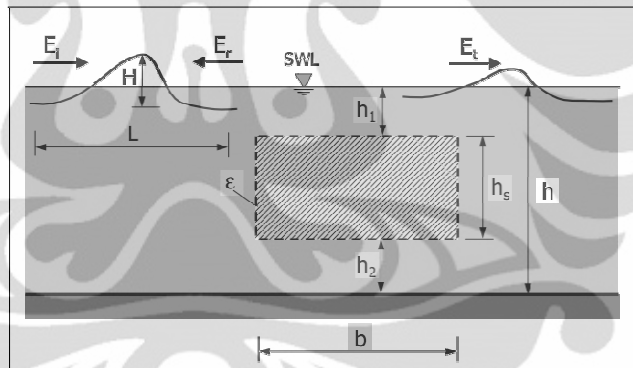
Berdasarkan panjang bangunnya, *breakwater* ini dibagi menjadi dua macam. Biasanya semakin lebar struktur *breakwater*, semakin efektif redaman gelombangnya. Jenis *breakwater* tersebut adalah:

- Wide structure

Breakwater ini memiliki nilai panjang yang lebih dari nol ($B>0$). Hasil dari redaman gelombang yang datang sangat berpengaruh dengan panjang dari struktur ini.

- Thin walls

Breakwater ini memiliki nilai panjang yang lebih dari nol ($B=0$). *Breakwater* ini biasanya berbentuk tembok atau susunan pilar. Untuk mendapatkan hasil redaman yang besar, biasanya *breakwater* ini tidak hanya disusun satu lapis.



Gambar 2.4 Parameter Tentatif Struktur Peredam Gelombang Tunggal

Tabel 2.4 Gambaran Struktur Gelombang

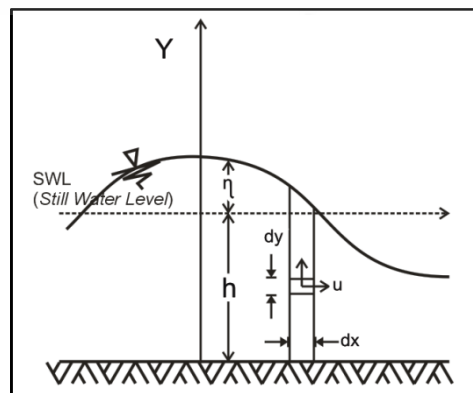
		$h_s > h$	$h_s < h$			$h_s = 0$
		$h_1 = 0$ $h_2 = 0$	$h_1 > 0$ $h_2 = 0$	$h_1 = 0$ $h_2 > 0$	$h_1 > 0$ $h_2 > 0$	$h_1 + h_2 = h$
$b = 0$ thin walls	$\epsilon = 0$ impermeable	1.1	1.2	1.3	1.4	1.5 no structure
	$\epsilon \neq 0$ permeable	2.1	2.2	2.3	2.4	2.5 no structure
$b > 0$ wide structures	$\epsilon = 0$ impermeable	3.1	3.2	3.3	3.4	3.5
	$\epsilon \neq 0$ permeable	4.1	4.2	4.3	4.4	4.5

Sumber: Handbook of Coastal and Ocean Engineering, World Scientific, Singapore

2.2. Gelombang

2.2.1. Energi dan Tenaga Gelombang

Energi total gelombang adalah jumlah dari energi kinetik dan energi potensial gelombang. Energi kinetik adalah energi yang disebabkan oleh kecepatan partikel air karena adanya gerak gelombang. Energi potensial adalah energi yang dihasilkan oleh perpindahan muka air karena adanya gelombang.



Gambar 2. 3 Penurunan Energi Gelombang

$$dE_k = \frac{1}{2} dm V^2 = \frac{1}{2} \rho dx dy (u^2 + v^2)$$

Energi kinetik total adalah integras dari persamaan atas,

$$E_k = \int_0^L \int_{-d}^0 \frac{1}{2} \rho (u^2 + v^2) dx dy$$

Apabila persamaan tersebut di substitusikan, maka didapat

$$E_k = \frac{\rho}{2} \int_0^L \int_{-d}^0 \left[\frac{\pi H \cos k(d+y)}{T \sin kd} \cos(kx - \sigma t) \right]^2 + \left[\frac{\pi H \sin k(d+y)}{T \sin kd} \sin(kx - \sigma t) \right]^2 dx dy$$

$$E_k = \frac{\rho g H^2 L}{16}$$

Apabila energi potensial dari gelombang dikurangi dengan energi potensial dari massa air diam seperti yang ditunjukkan dalam gambar diatas, akan didapat energi potensial yang disebabkan oleh gerak gelombang. Dengan menggunakan dasar laut sebagai bidang referensi, energi potensial yang ditimbulkan oleh suatu panjang gelombang E_p adalah:

$$E_p = \int_0^L \rho g (d + \eta) \frac{(d + \eta)}{2} dx - \rho g L d \left(\frac{d}{2} \right)$$

$$E_p = \frac{\rho g H^2 L}{16}$$

Jadi energi kinetik dan potensial adalah sama, dan energi total tiap satu satuan lebar adalah:

$$E = E_k + E_p = \frac{\rho g H^2 L}{8}$$

Energi gelombang berubah dari satu titik ke titik yang lain sepanjang satu panjang gelombang, dan energi rerata satu satuan luas adalah:

$$\bar{E} = \frac{E}{L} = \frac{\rho g H^2}{8}$$

2.3. Deformasi Gelombang

Besarnya energi gelombang yang sampai di pantai tergantung pada tinggi gelombang yang datang. Tinggi gelombang dapat dikurangi dengan membuat struktur melontang arah gelombang

Apabila gelombang pada saat penjalaran mengalami suatu rintangan, sebagian energinya akan dihancurkan melalui proses gesekan dan turbulensi.

Sebagian lagi akan dipantulkan dan sisanya akan dihancurkan, dihancurakan, dipantulkan, dan diteruskan tergantung pada jenis gelombang, jenis struktur, dan keadaan lingkungan setempat

Pada lokasi bangunan pantai sebagian energi gelombang akan dipantulkan, sebagian yang lain akan ditransmisikan, dan energi yang tersisa akan dihancurkan akibat pecahnya gelombang. Kejadian ini akan memenuhi hukum kekeakalan energi yang dapat dinyatakan dengan:

$$\bar{E}_i = \bar{E}_t + \bar{E}_r + \bar{E}_L$$

Apabila transfer energi rata-rata dari suatu gelombang memiliki periode tertentu diketahui sebesa $\bar{E} = \frac{\rho gh^2}{8}$, maka

$$1 = K_t^2 + K_r^2 + K_L$$

2.3.1. Gelombang Refleksi

Gelombang air dapat mengalami refleksi total atau parsial baik oleh penghalang alami maupun buatan manusia. Refleksi pada gelombang laut sama halnya yang terjadi pada refleksi cahaya pada cermin datar, di mana sudut datang sama dengan sudut pantul gelombang.

Parameter refleksi gelombang oleh bangunan biasanya dinyatakan dalam bentuk koefisien refleksi K_r yang didefinisikan sebagai perbandingan antara akar dari energi gelombang refleksi (E_r) dan energi gelombang datang (E_i), atau tinggi gelombang refleksi (H_r) dan tinggi gelombang datang (H_i).

$$K_r = \sqrt{\frac{E_r}{E_i}} = \frac{H_r}{H_i}$$

Apabila dua buah gelombang dengan periode yang sama dan berlawanan arah masing-masing dengan amplitudo a_1 dan a_2 ($a_1 > a_2$), maka gabungan dari profil gelombang tersebut diberikan oleh persamaan berikut

$$\eta = a_1 \cos(kx + \sigma t) + a_2 \cos(kx - \sigma t)$$

$$\eta = (a_1 + a_2) \cos kx \cos \sigma t - (a_1 - a_2) a_2 \sin kx \sin \sigma t$$

Persamaan diatas adalah untuk gelombang dengan refleksi tidak sempurna dengan a_1 sebagai amplitudo gelombang datang dan a_2 sebagai amplitudo

gelombang refleksi. Apabila a_{maks} adalah jumlah dari a_1 dan a_2 , lalu a_{min} adalah selisih dari a_1 dan a_2 , maka

$$K_r = \frac{a_1}{a_2} = \frac{a_{maks} + a_{min}}{a_{maks} - a_{min}} = \frac{H_{max} - H_{min}}{H_{max} + H_{min}}$$

2.3.2. Gelombang Transmisi

Tinggi gelombang yang tertransmisikan akan lebih kecil daripada gelombang kejadian, begitu pula dengan perioda gelombangnya yang pasti akan berbeda besarnya. Derajat dari gelombang transmisi didefinisikan sebagai koefisien transmisi. Pada saat meninjau sebuah gelombang yang tidak beraturan, koefisien transmisi didefinisikan sebagai rasio atau perbandingan antara tinggi gelombang yang tertransmisikan dengan gelombang kejadian atau pada indikasi-indikasi transmisi serta kejadian lainnya. Berikut ini merupakan rumus penggerjaannya:

$$K_t = \sqrt{\frac{E_t}{E_i}} = \frac{H_t}{H_i}$$

Pada bangunan kedap air (impermable), transmisi gelombang yang diakibatkan oleh hampasan volume air yang melimpas di atas bangunan, sedangkan pada bangunan permeable transmisi gelombang merupakan gabungan dari konstruksi overtopping dan perembesan air melalui bangunan. Gelombang panjang akan menghasilkan gelombang transmisi yang lebih besar dibandingkan gelombang pendek. Selain itu transmisi gelombang juga dipengaruhi oleh kecuraman gelombang

2.4. Analisa Dimensi

Di dalam merencanakan pengujian model dan untuk menyajikan hasil eksperimen, sangat berguna untuk melakukan analisis dimensi terhadap permasalahan eksperimen tersebut. Hal ini dimaksudkan untuk mengidentifikasi parameter penting sehingga dapat mengatur variabel model yang diuji dengan sesuai

2.4.1. Satuan Fisik

Satuan fisik ditampilkan untuk suatu benda berupa panjang (m), massa (kg), berat (N), viskositas, temperatur dan lain-lainnya. Satuan fisik dibagi dua group yakni *Primary Quantities* dan *Secondary Quantities*. *Primary quantities* hanya mempunyai dimensi satu berupa panjang saja atau satu macam satuan saja. *Secondary quantities* mempunyai dimensi lebih dari satu.

2.4.2. Sistem Satuan

Ada 2 system satuan yang digunakan yakni *physic system (absolut)* dengan satuan M (massa), L (panjang), T (waktu) dan *engineering system* dengan satuan F (gaya), L (panjang), T (waktu). Pada sistem absolute atau fisik termasuk *primary quantities*

Tabel 2.5 Sistem Dimensi

No.	Quantity	Unit Generally Adopted	Symbol	Dimensions	
				MLT system	FLT system
Geometric					
1.	Length	m	<i>l</i>	L	L
2.	Area	m^2	A	L^2	L^2
3.	Volume	m^3	V	L^3	L^3
4.	Slope	-	<i>S</i>	-	-
Kinematic					
5.	Time	sec	T	T	T
6.	Velocity (linear)	m/sec	v	LT^{-1}	LT^{-1}
7.	Velocity (angular)	rad/sec	ω	T^{-1}	T^{-1}
8.	Acceleration (linear)	m/sec^2	<i>f</i>	LT^{-2}	LT^{-2}
9.	Acceleration (angular)	rad/sec^2	α	T^{-2}	T^{-2}
10.	Discharge	m^3/sec	<i>Q</i>	L^3T^{-1}	L^3T^{-1}
11.	Gravitational acceleration	m/sec^2	<i>g</i>	LT^{-2}	LT^{-2}
12.	Kinematic viscosity	m^2/sec	<i>v (nu)</i>	L^2T^{-1}	L^2T^{-1}
Dynamic					
13.	Mass	kg	M	M	$FL^{-1}T^2$
14.	Force	N	F	MLT^2	F
15.	Weight	N	W	MLT^2	F
16.	Mass density	slug/cum	ρ	ML^{-3}	$FL^{-4}T^2$
17.	Specific weight	kg/cum	w	$ML^{-2}T^2$	FL^{-3}
18.	Dynamic viscosity	$kg\ sec/m^2$	μ (mu)	$ML^{-1}T^{-1}$	$FL^{-2}T$
19.	Surface tension	kg/m	λ	MT^{-2}	FL^{-1}
20.	Elastic modulus	kg/m^2	E	$ML^{-1}T^{-2}$	FL^{-2}
21.	Pressure intensity	N/m^2	p	$ML^{-1}T^{-2}$	FL^{-2}
22.	Shear intensity	N/m^2	τ	$ML^{-1}T^{-2}$	FL^{-2}
23.	Work, Energy	kg.m	<i>W, E</i>	ML^2T^{-2}	FL
24.	Impulse, momentum	$kg.m/sec$	I, M	MLT^{-1}	FT
25.	Torque	kg.m	T	ML^2T^{-2}	FL
26.	Power	$kg.m/sec$	P	ML^2T^{-3}	FLT^{-1}

Sumber: *Bahan Kuliah Teori Model Analisa dan Dimensi*, Institut Teknologi Sepuluh Nopember, Surabaya.

Persamaan dikatakan berdimensi homogen jika dimensi setiap suku dari suatu persamaan adalah identik/sama. Setiap persamaan secara fisik diawali dari penomena analisa keserupaan, seperti persamaan dari suatu sistem satuan. Untuk mendapatkan jumlah variabel dari suatu persamaan dapat ditentukan dengan metode :

- *Metode Rayleigh*
- *Metode Buckingham*
- *Metode Matrik*

2.5. Model Analisa

Model analisa ini akan membuat para desain/para experiment mendapatkan informasi yang mendekati kebenaran sebelum memulai melaksanakan pekerjaan yang sesungguhnya, dan untuk mendapatkan pengaruh yang akan ditimbulkannya.

Dengan demikian dapat memberikan perbandingan pemodelan konstruksi menjadi tidak begitu mahal, untuk mendapatkan alternatif perencanaan sebelum dilaksanakan sebagai keputusan yang tepat.

Model hanya merupakan sumber penyelesaikan pendekatan permasalahan konstruksi atau hidrolik. Dengan model ini merupakan jasa berguna untuk mempelajari alternatif perencanaan. Untuk merencanakan memodelkan suatu kegiatan perlu dipilih skala model peruntukannya sebagai berikut ;

- Ruang yang akan dipakai untuk pemodelannya
- Ketersediaan jumlah air yang ada pada laboratorium
- Tipe hasil yang diinginkan (mutu dan jumlah)
- Besarnya pengeluaran yang digunakan

Uji coba keserupaan ditentukan oleh analisa dimensi variable bebas yang mempengaruhi permasalahan. Jika semua dimensi variabel bebas mempunyai nilai yang sama untuk model dan prototipe maka keduanya dikatakan absolut mirip. Pada gelombang air ada pengaruh tegangan permukaan air sebesar 25 mm, akan tetapi pada prototipe karena dimodelkan dengan skala yang kecil maka tegangan permukaan diabaikan, pengaruh ini disebut sebagai efek skala.

2.5.1. Hukum Froude

Apabila diprototip yang berperan adalah gaya inersia dan gaya berat maka kesebangunan dapat ditentukan berdasarkan criteria kesebangunan Froude:

$$Fr^2 = \frac{F_L}{F_g} = \frac{\rho \cdot u^2 \cdot L^2}{\rho \cdot g \cdot L^3} = \frac{U^2}{gL} = \frac{u}{\sqrt{gl}}$$

Dengan demikian apabila dalam kegiatan modelisasi tersebut gaya gravitasi dan gaya inersia sama-sama memegang peranan penting dalam permasalahan, maka rasio kedua gaya tersebut pada model dan prototip harus sama. Kriteria ini disebut kriteria kesebangunan menurut kondisi bilangan Froude (Kriteria sebangun Froude).

$$n_{Fr} = \frac{n_U}{n_L^{0.5}} = 1$$

Untuk mendapatkan kesebangunan dinamik antara model dan prototip tidak perlu semua gaya yang ada mempunyai perbandingan yang sama, hanya dipilih gaya-gaya yang penting dalam permasalahan saja yang diperhitungkan. Apabila terlalu banyak gaya (apalagi semua) yang diperhatikan maka besar model harus dibuat sebesar prototip.

Untuk menentukan sekala model dalam hubungannya dengan kesebangunan dinamik, maka dipilih gaya-gaya yang penting saja, sedangkan gaya yang tidak penting dapat diabaikan

Tabel 2.6 Faktor Skala Berdasarkan Hukum Froude

No.	Quantity	Symbol		Scale Factor
		Model	Prototype	
A. Geometric				
1. Panjang	l_m	l_p		$(l_p/l_m) = n$
2. Luasan	A_m	A_p		$(A_p/A_m) = n^2$
3. Volume	V_m	V_p		$(V_p/V_m) = n^3$
4. Kemiringan	i_m	i_p		$(i_p/i_m) = 1$
5. Sudut	θ_m	θ_p		$(\theta_p/\theta_m) = 1$
B. Kinematic				
6. Kecepatan Linier	v_m	v_p		$(v_p/v_m) = n^{0,5}$
7. Waktu	T_m	T_p		$(T_p/T_m) = n^{0,5}$
8. Kecepatan Sudut	ω_m	ω_p		$(\omega_p/\omega_m) = n^{-0,5}$
9. Percepatan Linier	a_m	a_p		$(a_p/a_m) = 1$
10. Percepatan Sudut	α_m	α_p		$(\alpha_p/\alpha_m) = 1/n$
11. Debit	Q_m	Q_p		$(Q_p/Q_m) = n^{2,5}$
C. Dynamic				
12. Massa	M_m	M_p		$(M_p/M_m) = n^3$
13. Gaya Berat	F_m	F_p		$(F_p/F_m) = n^3$
14. Usaha, Energi, Torsi	E_m	E_p		$(E_p/E_m) = n^4$
15. Tenaga/ Daya	P_m	P_p		$(P_p/P_m) = n^{3,5}$

Sumber: *Bahan Kuliah Teori Model Analisa dan Dimensi*, Institut Teknologi Sepuluh Nopember, Surabaya.

2.5.2. Sebangun Geometrik

Sebangun geometrik yang dimaksud adalah kemiripan bentuk dan dimensinya adalah linier. (seperti panjang, lebar, tinggi, kedalaman air). Rasio/perbandingan antara keduanya menjadi sebagai berikut:

$$\text{Skala panjang} : nL = \frac{L_p}{L_m}$$

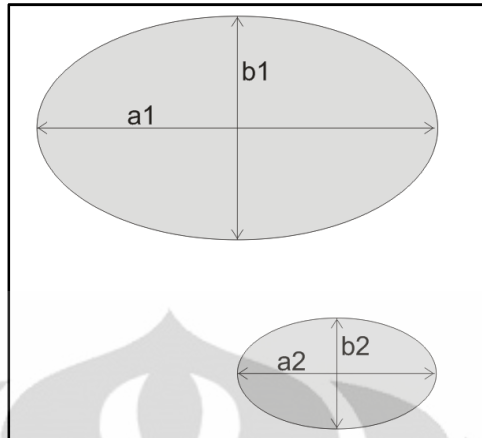
$$\text{Skala luas} : nL^2 = \frac{L_p^2}{L_m^2} = \frac{A_p}{A_m}$$

$$\text{Skala volume} : nL^3 = \frac{L_p^3}{L_m^3} = \frac{V_p}{V_m}$$

dimana

L_p = ukuran di panjang prototipe

L_m = ukuran di panjang model



Gambar 2.5 Contoh Sebangun Geometrik

2.5.3. Sebangun Kinematik

Sebangun kinematik yang dimaksud adalah kemiripan gerak dari satu titik ketitik yang lainnya, dapat berupa kecepatan, percepatan, debit dan waktu yang diperlukan, sehingga ratio antara model dan prototipenya sebagai berikut:

$$\text{Untuk skala kecepatan} \quad : \frac{u_p}{u_m} = \frac{\frac{L_p}{T_p}}{\frac{L_m}{T_m}} = \frac{n_L}{n_T} = n u$$

$$\text{Untuk skala percepatan} \quad : \frac{a_p}{a_m} = \frac{\frac{L_p}{T_p^2}}{\frac{L_m}{T_m^2}} = \frac{n_L}{n_T^2} = n a$$

$$\text{Untuk skala debit} \quad : \frac{Q_p}{Q_m} = \frac{\frac{L_p^3}{T_p^3}}{\frac{L_m^3}{T_m^3}} = \frac{n_L^3}{n_T^3} = n Q$$

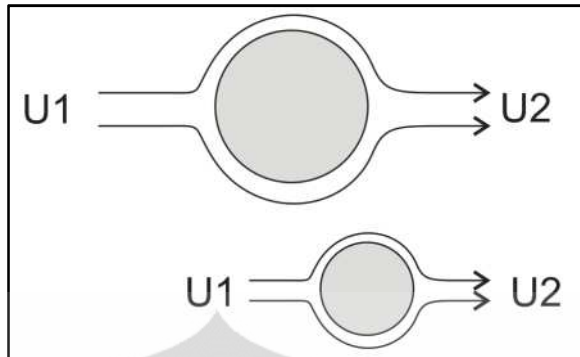
dimana :

L_p = ukuran panjang di prototipe

L_m = ukuran panjang di model

T_p = ukuran waktu di prototype

T_m = ukuran waktu di model



Gambar 2.6 Contoh sebangun kinematik

2.5.4. Sebangun Dinamik

Sebangun dinamik yang dimaksud adalah kemiripan pada massa dan gaya.

Dengan catatan bahwa;

- Hubungan ratio gerakan massa partikel fluida adalah sama
- Hubungan ratio gaya massa partikel fluida adalah sama.

Variabel yang mempengaruhi gaya-gaya tersebut di klasifikasikan dalam tiga tipe yaitu:

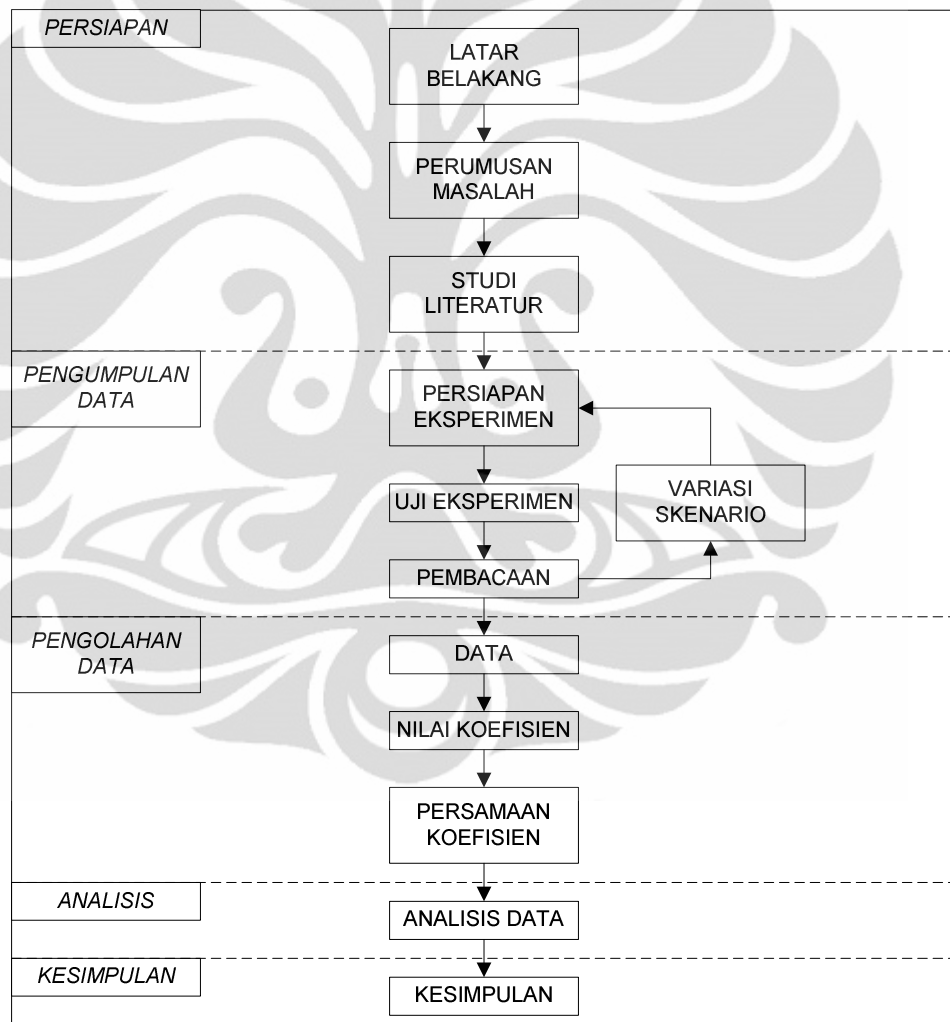
- *Linear Dimensions* (l = panjang) didefinisikan sebagai kondisi batas geometrik.
- *Fluid Properties* (ρ , μ , λ , E) disebut sebagai kerapatan fluida, viskositas, tegangan permukaan, dan elastisitas.
- *Kinematic and Dynamic Characteristics of Flow* (v , p , g) disebut sebagai kecepatan aliran, intensitas tekanan, percepatan gravitasi.

BAB 3

METODOLOGI PENELITIAN

3.1. Diagram Alir Penelitian

Dalam melaksanakan penelitian ini, digunakan pendekatan dengan mengikuti bagan alir seperti terlihat pada Gambar 3.1.



Gambar 3.1. Diagram Alir Penelitian

3.1.1. Tahapan Persiapan

Tahapan persiapan mencakup proses identifikasi, perumusan masalah, studi literatur, dan survei pendahuluan. Tahapan ini dimulai dengan mencari informasi mengenai kebutuhan pesisir pantai akan gelombang air laut. Dari informasi mengenai tersebut maka kemudian dilakukan tahap identifikasi dan perumusan masalah untuk mendapatkan kasus penelitian beserta tujuannya. Kemudian dilakukan studi literatur untuk mengetahui metode analisis yang bisa dilakukan dalam menyelesaikan permasalahan yang ada.

3.1.2. Tahap Pengumpulan Data

Pengumpulan data pada penelitian ini dilakukan dengan uji eksperimental. Tahap pengumpulan data ini akan didapatkan data mentah yang akan diolah agar mendapatkan tujuan dari penelitian ini

3.1.3. Tahap Pengolahan Data

Tahap pengolahan data merupakan proses interpretasi dan elaborasi data yang dikumpulkan untuk mendapatkan suatu hasil yang dibutuhkan atau diinginkan. Pada penelitian ini, tahap pengolahan data dilakukan terhadap setiap hasil pembacaan yang dilakukan. Proses pengolahan data yang dilakukan yaitu untuk memperoleh nilai koefisien refleksi (K_r), koefisien transmisi (K_t), dan koefisien kehilangan energi (K_L).

3.1.4. Tahap Analisis

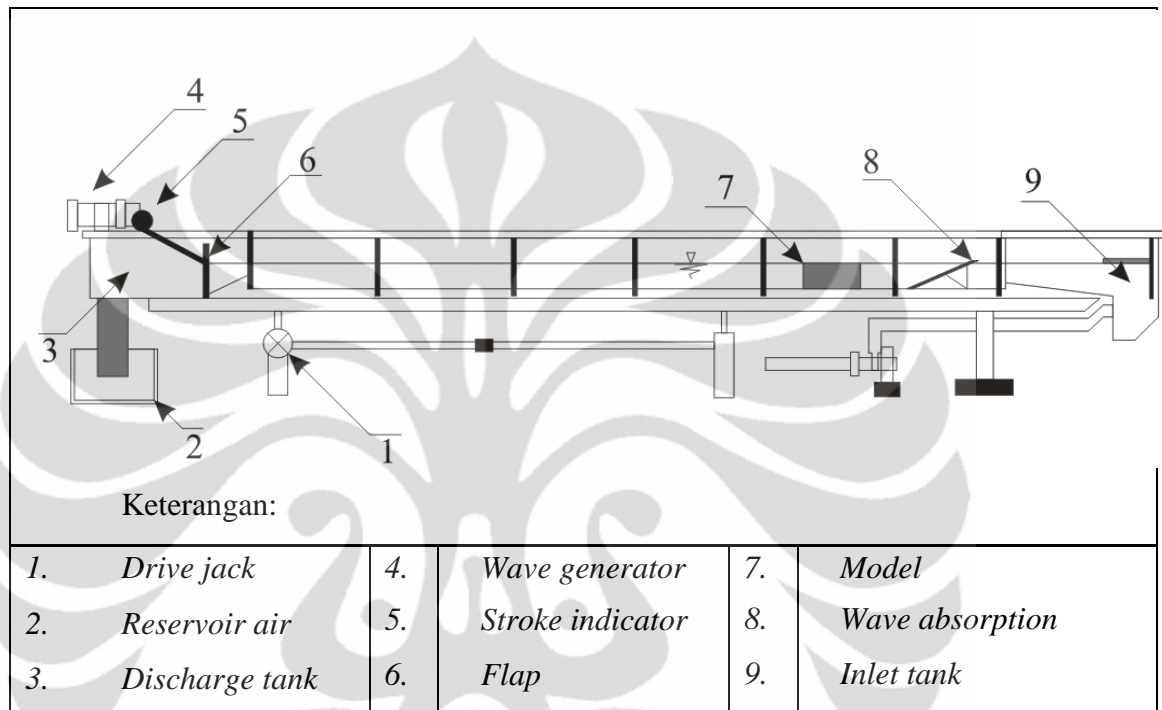
Tahap analisis pada penelitian ini mencakup seluruh kegiatan mengelaborasikan kajian dan data yang bukan berupa data mentah hasil eksperimen. Analisis ini dapat dilihat dari hasil pengolahan data yang akan diubah dalam bentuk grafis.

3.1.5. Tahap Kesimpulan

Bagian kesimpulan berisi konklusi dari penelitian yang telah dilakukan. Pada tahap ini dilakukan penyimpulan dari seluruh proses penelitian yang berujung pada jawaban dan saran dari rumusan masalah yang ada.

3.2. Alat dan Model

Alat yang digunakan berupa tilting flume yang berdimensi panjang 10 meter, lebar 31 cm, dan tinggi 31 cm. Jenis pembangkit gelombang yang digunakan berjenis flap yang berengsel dibagian bawah dan terhubung dengan motor bervariabel kecepatan dan diameter roda.



Gambar 3.2. Tilting Flume

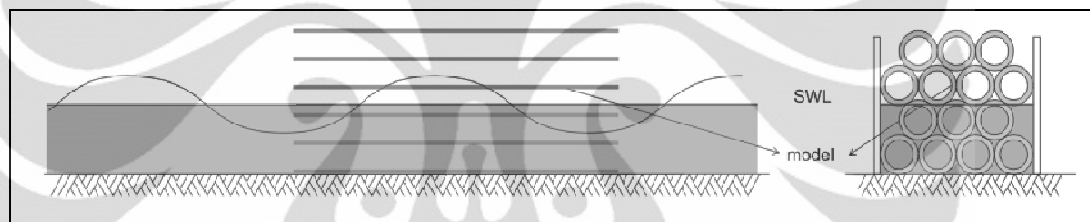


Gambar 3.3 Tilting Flume yang Digunakan

Model yang digunakan adalah silinder yang terbuat dari *poly vinyl chloride* (PVC). Silinder ini lalu disususn saling bersilangan hingga tingginya lebih dari 25 cm. hal ini agar kondisi yang diharapkan terpenuhi, yaitu kondisi dimana gelombang tidak melimpas diatas model yang akan diuji.



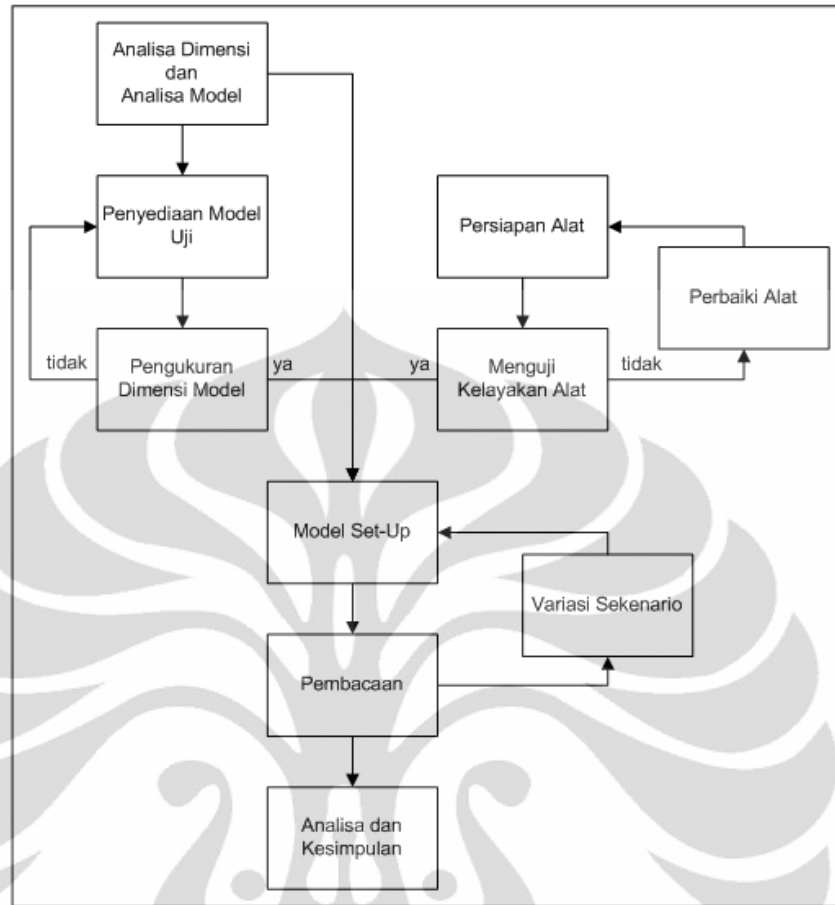
Gambar 3.4 Model yang Akan Diuji



Gambar 3.5. Kondisi Model yang Akan Diuji

3.3. Metodologi Pengujian

Uji eksperimental pada model ini akan dilaksanakan di Laboratorium Hidrologi, Hidroloka, dan Sungai, Teknik Sipil Universitas Indonesia. Uji ini dilakukan untuk mengukur koefisien transmisi dan koefisien refleksi karena adanya model penahan gelombang yang menggunakan parameter berbeda.



Gambar 3.6 Diagram Alir Metode Pengujian

3.3.1. Analisa Dimensi Dan Analisa Model

Sebelum dilakukan uji eksperimental, dilakukan analisa dimensi dan analisa model. Hal ini agar diketahui dimensi model yang digunakan dan perlakuan terhadap model yang di uji. Analisa tersebut juga memberikan parameter yang akan diamati.

3.3.2. Pengecekan Alat dan Model

Pengecekan alat dan model ini dilakukan agar memperlancar keberlangsungan penelitian. Untuk alat yg diuji haruslah berfungsi dengan baik, apabila tidak dapat berfungsi, maka alat tersebut harus dibetulkan terlebih dahulu. Untuk model yang akan diuji harus sesuai dengan dimensi yang telah ditetepkan.



Gambar 3.7 Pengukuran Dimensi Model

3.3.3. Persiapan

Persiapan yang dilakukan ini berupa mebersihkan alat dan model, menempelkan alat ukur ketinggian, dan mengatur kemiringan *tilting flume*. Hal ini dilakukan agar uji eksperimental dapat menghasilkan data yang mendekati sempurna dan mempermudah pembacaan.

3.3.4. Model Set-Up

Pada tahap ini dilakukan duamacam persiapan yaitu:

- 1) Menyusun model
- 2) Mengatur alat

Kedua tahap ini dilakukan sesuai dengan variasi model yang akan diuji dengan batasan analisa model yang sudah dilakukan. Pengaturan alat ini terdiri dari pengaturan jari-jari lengan *wave generator* dan periode gelombang yang dihasilkan.



Gambar 3.8. Model dalam Tilting Flume



Gambar 3.9 Wave Generator

3.3.5. Pembacaan

Pembacaan yang dilakukan sebagian besar dengan metode visual. Pembacaan-pembacaan tersebut adalah:

1) Periode

Mengamati rentang waktu yang terbaik untuk satu panjang gelombang dimana belum ada pengaruh gelombang refleksi dengan menggunakan stopwatch

2) Panjang gelombang

Mengamati panjang gelombang untuk satu peiriode yang terbaik dimana belum ada pengaruh gelombang refleksi dengan menggunakan meteran

3) Tinggi gelombang datang maksimum dan minimum

Mengamati tinggi gelombang datang tertinggi dan terendah pada gelombang yang dihasilkan *wave generator*. Pengamatan ini dilakukan pada kondisi dimana belum ada pengaruh gelombang refleksi dengan menggunakan alat ukur ketinggian yang telah disediakan.

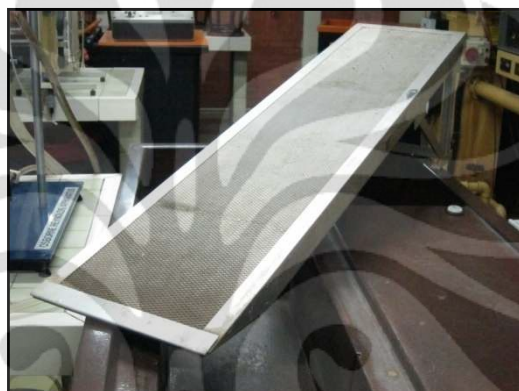
4) Tinggi gelombang refleksi maksimum dan minimum

Mengamati tinggi gelombang refleksi tertinggi dan terendah pada gelombang yang berada di hilir model. Pengamatan ini dilakukan pada kondisi dimana gelombang datang telah beresonansi terhadap

gelombang refleksi. Pembacaan ini dilakukan dengan menggunakan alat ukur ketinggian yang telah disediakan.

5) Tinggi gelombang transmisi maksimum dan minimum

Mengamati tinggi gelombang tranzmisi tertinggi dan terendah pada gelombang yang berada di hulu model (sebelum *wave absorption*). Pembacaan ini dilakukan dengan menggunakan alat ukur ketinggian yang telah disediakan.



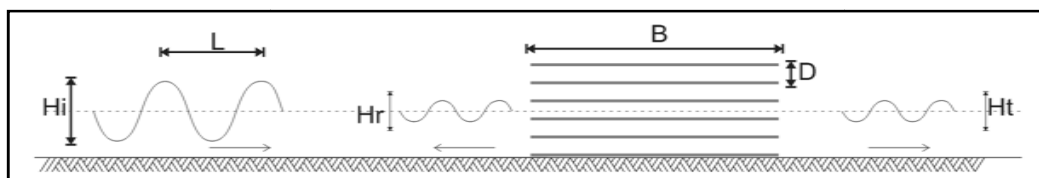
Gambar 3.10 Wave Absorption

3.3.6. Variasi Skenario

Setelah pembacaan selesai, maka percobaan diulangi dari tahap model *set-up*. Variasi skenario dilakukan dengan batasan analisa model yang sudah dilakukan sebelumnya.

3.4. Analisa Dimensi

Analisa dimensi dapat membantu studi eksperimental yang harus dilakukan dan bagaimana hasilnya akan diplot. Analisis ini juga memberikan persamaan yang diperlukan untuk keberhasilan system permodalan yang telah dianalisis (Sharp, 1981).



Gambar 3.11 Ilustrasi Permodelan

Berdasarkan Gambar 3.11, variabel yang mempengaruhi koefisien refleksi dan transmisi dapat dituliskan sebagai berikut:

$$Kr = \frac{Hr}{Hi} = f(L, T, \rho_w, Hi, Hr, D, B, V_w, \mu, g)$$

$$Kt = \frac{Ht}{Hi} = f(L, T, \rho_w, Hi, Ht, D, B, V_w, \mu, g)$$

Dimana

L = panjang gelombang

T = periode gelombang

ρ_w = massa jenis

Hi = tinggi gelombang datang

Hr = tinggi gelombang refleksi

Ht = tinggi gelombang transmisi

D = diameter struktur

B = Panjang Struktur

V_w = kecepatan seragam

μ = viskositas dinamis

g = gravitasi

Persamaan diatas lalu dipecahkan dengan menggunakan metode matriks (sharp, 1981) sehingga menghasilkan nilai π sebagai berikut:

$$\frac{Hi}{L}, \frac{Hr}{L}, \frac{D}{L}, \frac{B}{L}, \frac{V_w T}{L}, \frac{\mu T}{L^2 \rho_w}, \frac{g T^2}{L} = \pi_1, \pi_2, \pi_3, \pi_4, \pi_5, \pi_6, \pi_7$$

$$\frac{Hi}{L}, \frac{Ht}{L}, \frac{D}{L}, \frac{B}{L}, \frac{V_w T}{L}, \frac{\mu T}{L^2 \rho_w}, \frac{g T^2}{L} = \pi_1, \pi_2, \pi_3, \pi_4, \pi_5, \pi_6, \pi_7$$

Dengan menggabungkan nilai π maka didapat parameter tak berdimensi sebagai berikut:

$$\frac{Hi}{g T^2}, \frac{Hr}{Hi}, \frac{D}{g T^2}, \frac{B}{L}, \frac{V_w T}{L}, \frac{V_w L}{\mu / \rho_w}, \frac{V_w^2}{gh} = \frac{\pi_1}{\pi_7}, \frac{\pi_2}{\pi_1}, \frac{\pi_3}{\pi_7}, \pi_4, \pi_5, \frac{\pi_5}{\pi_6}, \frac{\pi_5^2}{\pi_7}$$

$$\frac{Hi}{g T^2}, \frac{Ht}{Hi}, \frac{D}{g T^2}, \frac{B}{L}, \frac{V_w T}{L}, \frac{V_w L}{\mu / \rho_w}, \frac{V_w^2}{gh} = \frac{\pi_1}{\pi_7}, \frac{\pi_2}{\pi_1}, \frac{\pi_3}{\pi_7}, \pi_4, \pi_5, \frac{\pi_5}{\pi_6}, \frac{\pi_5^2}{\pi_7}$$

Empat suku pertama menjelaskan sifat gelombang datang, gelombang yang direfleksikan atau ditransmisikan, dan geometri. Keempat suku pertama ini dinamakan kemiringan gelombang, refleksi atau transmisi gelombang, diameter

model, dan panjang model. Tiga parameter terakhir adalah bilangan *Keulegan-Carpemter* (KC), bilangan *Reynolds*, dan bilangan *Froude* yang penting dalam proses analisa dimensi permodelan hidrolik. Apabila ketiga persamaan tersebut konstan, persamaanya dapat dinyatakan sebagai berikut

$$Kr = \frac{Hr}{Hi} = f\left(\frac{Hi}{gT^2}, \frac{D}{gT^2}, \frac{B}{L}\right)$$

$$Kt = \frac{Ht}{Hi} = f\left(\frac{Hi}{gT^2}, \frac{D}{gT^2}, \frac{B}{L}\right)$$

3.5. Analisa Model

Penskalaan dari model silinder sederhana menggunakan prinsip keserupaan Froude, dimana skala dan penentuan keserupaan model mengikuti keserupaan Froude.

Rasio skala geometri didefinisikan sebagai $nL = L_p/L_m$ dan penentuan skala geometri disesuaikan dengan kemampuan dan kapasitas saluran gelombang yang dibandingkan dengan ukuran prototipe. Kedalaman perairan maksimum yaitu 9 m dan kedalaman maksimum yang dapat dioperasikan secara optimal di dalam saluran gelombang yaitu 15 cm, sehingga skala percobaan yaitu 15 cm: 900 cm atau 1:60. Dengan menggunakan skala ini, jika tinggi gelombang maksimum pada prototipe adalah 2.8 m (Tabel 3.1 Prakiraan Tinggi Gelombang laut di Indonesia Tabel 3.1), maka tinggi gelombang model yaitu $280\text{cm}/60 = 4.667\text{ cm}$.

Tabel 3.1 Prakiraan Tinggi Gelombang laut di Indonesia

No	Lokasi	Angin 10 m Rata - Rata (Knot)	Tinggi Signifikan Rata - Rata (meter)	Tinggi Maximum Rata - Rata (meter)	Frekuensi Gel. > 3 Meter
1	Perairan utara Aceh	4 - 15	0.2 - 1.2	0.3 - 1.6	0 - 5 %
2	Perairan barat Aceh hingga Sumatera Utara	3 - 10	0.4 - 1.2	0.5 - 1.6	0 - 5 %
3	Perairan Sumatera Barat	3 - 8	0.4 - 1.7	0.7 - 2.2	0 - 5 %
4	Perairan Bengkulu hingga barat Lampung	2 - 8	0.4 - 2.0	0.7 - 2.5	0 - 5 %
5	Selat Sunda	2 - 10	0.3 - 2.0	0.4 - 2.5	0 - 5 %
6	Perairan selatan Banten hingga Jawa Barat	2 - 9	0.5 - 1.7	0.7 - 2.3	0 - 5 %
7	Perairan selatan Jawa Tengah	1 - 6	0.4 - 1.3	0.7 - 2.0	0 - 5 %
8	Perairan selatan Jawa Timur	1 - 7	0.4 - 1.2	0.7 - 2.0	0 - 5 %
9	Perairan selatan Bali hingga NTB	1 - 8	0.3 - 1.2	0.5 - 1.5	0 - 5 %
10	Laut Sawu	3 - 10	0.4 - 1.2	0.6 - 1.5	0 - 5 %
11	Laut Timor	5 - 15	0.5 - 1.2	0.7 - 2.0	0 - 5 %
12	Selat Malaka	3 - 13	0.1 - 0.8	0.2 - 1.3	0 - 5 %
13	Laut Natuna	3 - 16	0.4 - 1.4	0.6 - 1.8	0 - 5 %
14	Selat Karimata	2 - 10	0.1 - 1.0	0.3 - 1.2	0 - 5 %
15	Perairan selatan Kalimantan	2 - 8	0.1 - 0.5	0.2 - 0.7	0 - 5 %
16	Perairan Kepulauan Seribu	2 - 8	0.2 - 0.7	0.3 - 1.1	0 - 5 %
17	Laut Jawa	2 - 10	0.1 - 0.7	0.2 - 1.1	0 - 5 %
18	Laut Bali	2 - 7	0.2 - 0.7	0.4 - 1.1	0 - 5 %
19	Laut Flores	4 - 15	0.3 - 1.2	0.4 - 1.5	0 - 5 %
20	Selat Makassar bagian Selatan	3 - 10	0.3 - 0.7	0.4 - 1.2	0 - 5 %
21	Perairan selatan Sulawesi	4 - 10	0.3 - 0.7	0.4 - 1.2	0 - 5 %
22	Laut Maluku	4 - 11	0.5 - 1.7	0.7 - 2.2	0 - 5 %
23	Laut Buru - Laut Seram	3 - 11	0.4 - 1.4	0.6 - 2.1	0 - 5 %
24	Laut Sulawesi	3 - 16	0.4 - 2.0	0.6 - 2.6	0 - 5 %
25	Perairan Kep. Sangihe Talaud	5 - 16	1.2 - 2.0	1.5 - 2.8	0 - 5 %
26	Laut Halmahera	4 - 11	1.2 - 2.0	1.5 - 2.6	0 - 5 %
27	Perairan utara Papua	2 - 8	0.5 - 1.8	0.7 - 2.2	0 - 5 %
28	Laut Banda	6 - 15	0.5 - 1.3	0.7 - 2.0	0 - 5 %
29	Perairan Kepulauan Aru	8 - 15	0.5 - 1.3	1.0 - 2.2	0 - 5 %
30	Laut Arafuru	8 - 18	0.7 - 1.5	1.2 - 2.5	0 - 5 %

Keterangan : Frekuensi kejadian = 100 %, gelombang > 3 m terjadi seminggu (7 hari)

Sumber: Badan Meterorologi dan Geofisika

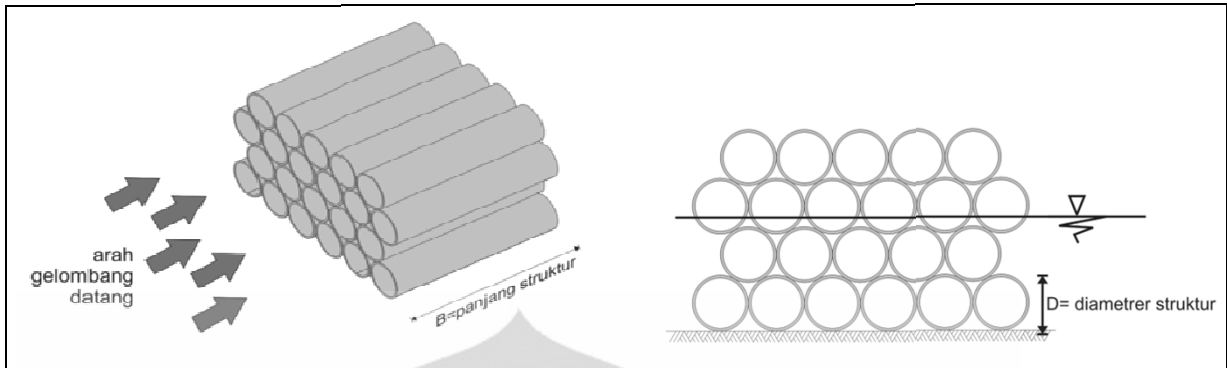
Dengan menggunakan keserupaan Froude, jenis penskalaan lainnya yaitu penskalaan waktu dan penskalaan berat yang dapat dituliskan sebagai

$$\text{skala panjang} \quad nL = 60$$

$$\text{skala waktu} \quad \sqrt{nL} = 7.746$$

$$\text{skala berat} \quad (nL)^3 = 216000$$

Lebar model terbatas pada lebar saluran gelombang yaitu 31 cm. Berbagai kondisi dan skenario percobaan (Tabel 3.2 dan Tabel 3.3) diuji di dalam laboratorium.



Gambar 3.12 Sketsa Ilustrasi Model

Tabel 3.2 Dimensi Model

Dimensi	Simbol	Prototipe (m)	Model (cm)
Panjang	B	24	40
		32	80
Diameter	D	3.04	5.08
		2.28	3.81
		1.9	3.175
		1.52	2.54

Sumber: Hasil perhitungan

Tabel 3.3 Skenario Percobaan Berdasarkan Parameter Keadaan Lingkungan

Dimensi	Simbol	Prototipe	Model
Kedalaman perairan	h	9 m	15 cm
Tinggi gelombang datang	Hi	2.58 m	4.3 cm
		0.96 m	1.6 cm
Panjang gelombang	L	232 m	387 cm
		24 m	44 cm
Periode gelombang	T	7.823 s	1.01 s
		4.57 s	0.59 s

Sumber: Hasil perhitungan

BAB 4

DATA DAN ANALISIS PENELITIAN

4.1. Data Penelitian

Di dalam merencanakan pengujian model dan untuk menyajikan hasil eksperimen, sangat berguna untuk melakukan analisis dimensi terhadap permasalahan eksperimen tersebut. Hal ini dimaksudkan untuk mengidentifikasi parameter-parameter penting sehingga dapat mengatur variabel-variabel model yang diuji dengan sesuai. Berikut produk non-dimensional hasil analisa dimensi:

$$K = f \left(\frac{B}{L} ; \frac{D}{gT^2} ; \frac{H_i}{gT^2} \right)$$

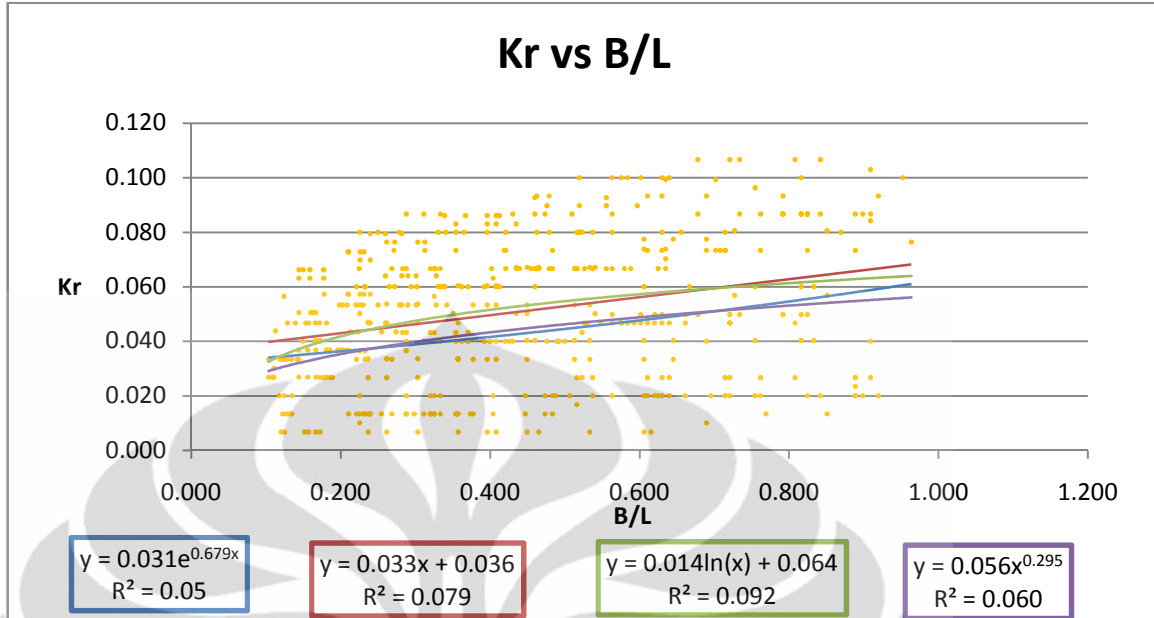
dimana B adalah panjang model, H_i adalah tinggi gelombang datang, dan D adalah diameter model.

Rentang periode pengujian yang dilakuakn adalah berkisar 1.01-0.59 detik dan rentang panjang gelombang berkisar 387-44 cm. Dari rentang tersebut, maka didapat batasan

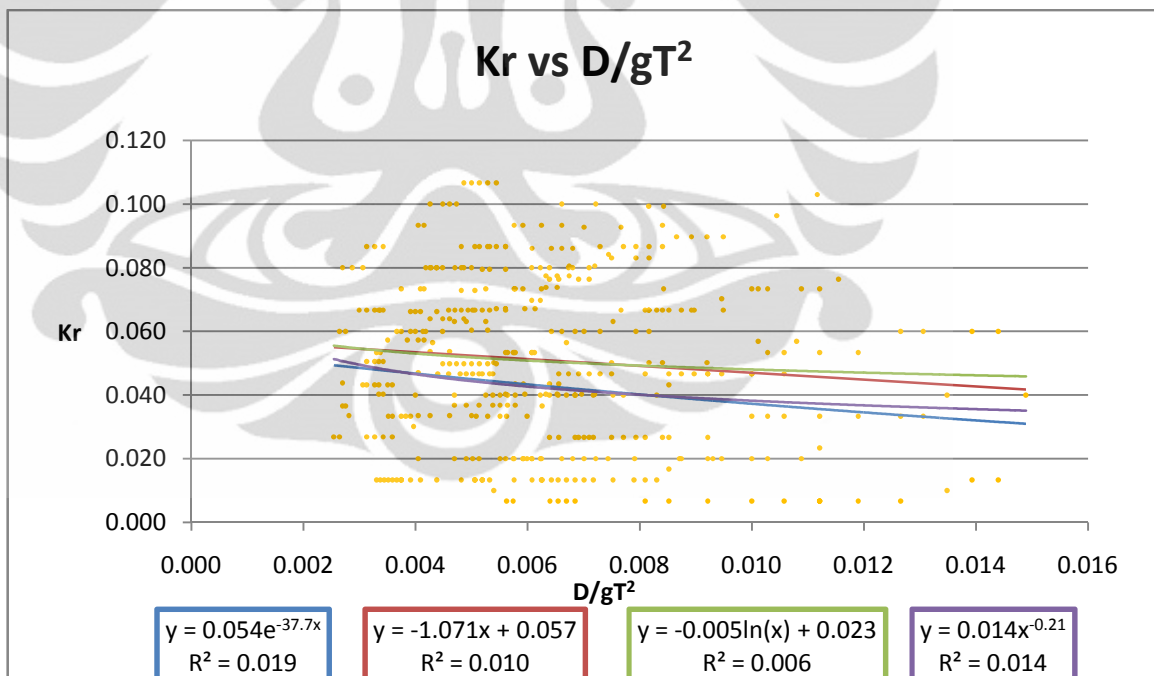
- $0.964 \leq (B/L) \leq 0.003$;
- $0.015 \leq (D/gT^2) \leq 0.002$;
- $0.013 \leq (H_i/gT^2) \leq 0.002$.

4.1.1. Koefisien Refleksi

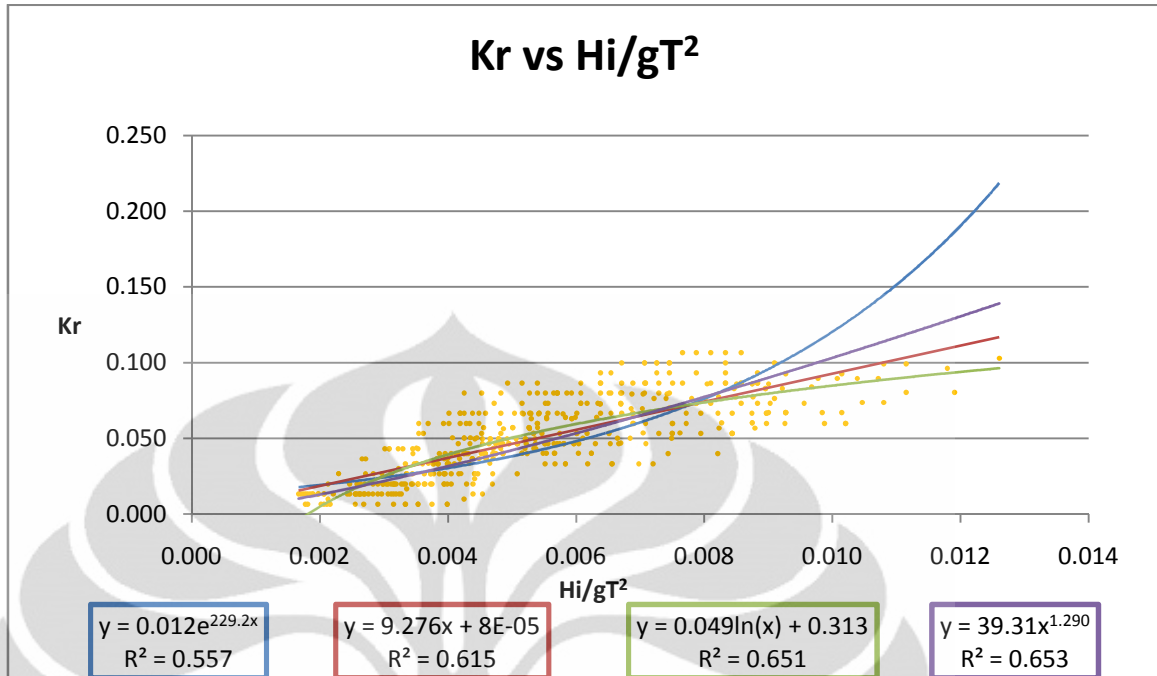
Dari persebaran data yang didapat, dilakukan pendekatan regresi. Regresi yang dilakukan adalah regresi eksponensial, regresi linear, regresi logaritmatis, dan regresi power. Berikut adalah grafik dari koefisien refleksi terhadap pengaruh model dengan batasan tertentu.



Gambar 4.1. Grafik Korelasi Panjang Relatif B/L Terhadap Koefisien Refleksi Gelombang Kr



Gambar 4.2. Grafik Korelasi Diameter Relatif D/gT² Terhadap Koefisien Refleksi Gelombang Kr



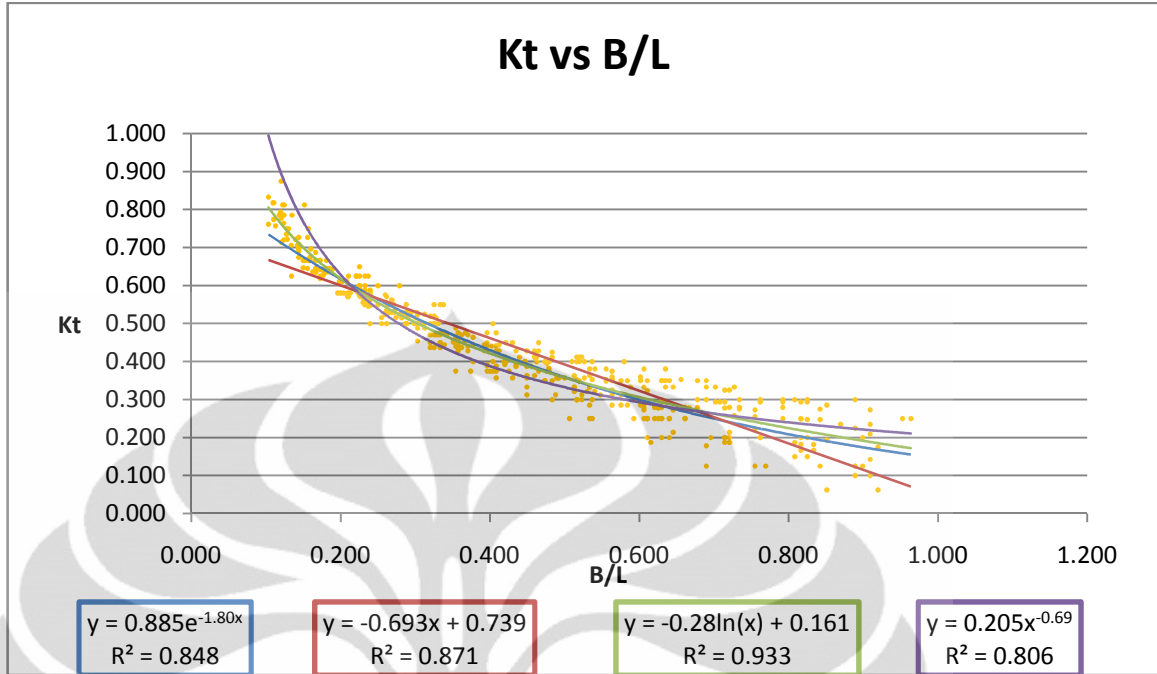
Gambar 4.3. Grafik Korelasi Kecuraman Gelombang Hi/gT^2 Terhadap Koefisien Refleksi Gelombang Kr

Tabel 4.1. Persamaan Refleksi Gelombang Kr

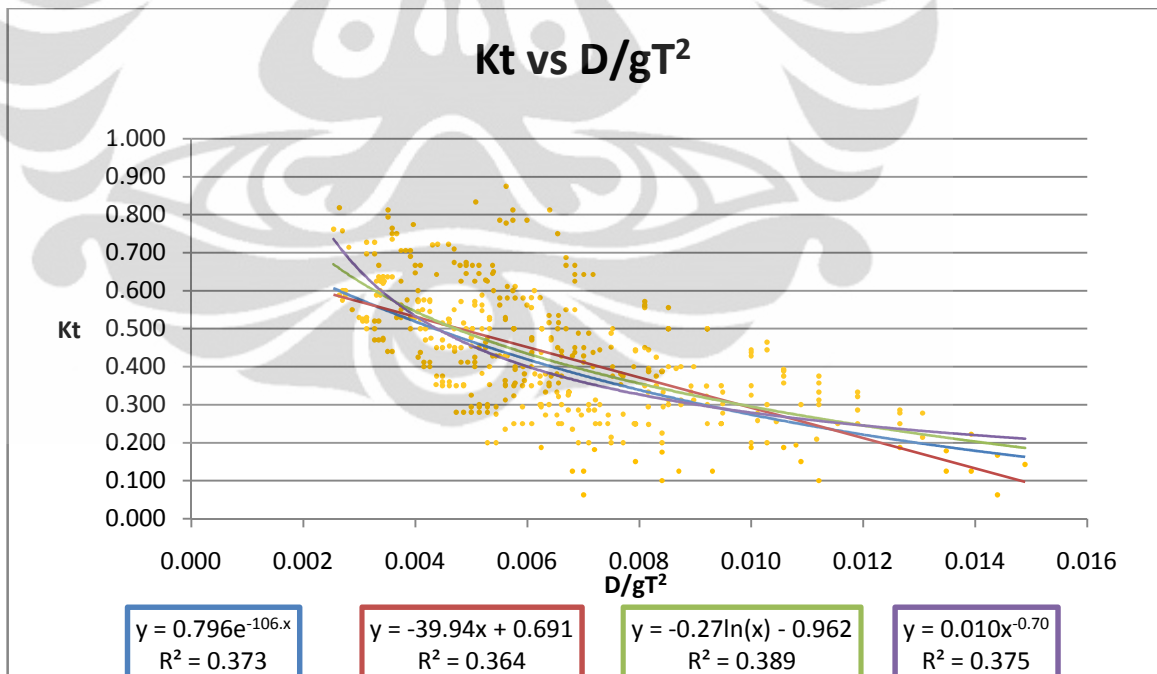
Regresi		B/L	D/gT ²	Hi/gT ²
Eksponensial	Kr	$0.031e^{0.679(\frac{B}{L})}$	$0.054e^{-3.7(\frac{D}{gT^2})}$	$0.557e^{229.2(\frac{Hi}{gT^2})}$
	R ²	0.05	0.019	0.557
Linear	Kr	$0.033\left(\frac{B}{L}\right) + 0.036$	$-1.071\left(\frac{D}{gT^2}\right) + 0.057$	$9.276\left(\frac{Hi}{gT^2}\right) + 8 \times 10^{-5}$
	R ²	0.079	0.01	0.615
Logaritmatik	Kr	$0.014\ln\left(\frac{B}{L}\right) + 0.064$	$-0.005\ln\left(\frac{D}{gT^2}\right) + 0.023$	$0.049\ln\left(\frac{Hi}{gT^2}\right) + 0.313$
	R ²	0.092	0.006	0.651
Power	Kr	$0.056\left(\frac{B}{L}\right)^{0.295}$	$0.014\left(\frac{D}{gT^2}\right)^{-0.21}$	$39.31\left(\frac{Hi}{gT^2}\right)^{1.29}$
	R ²	0.060	0.014	0.653

4.1.2. Koefisien Transmisi

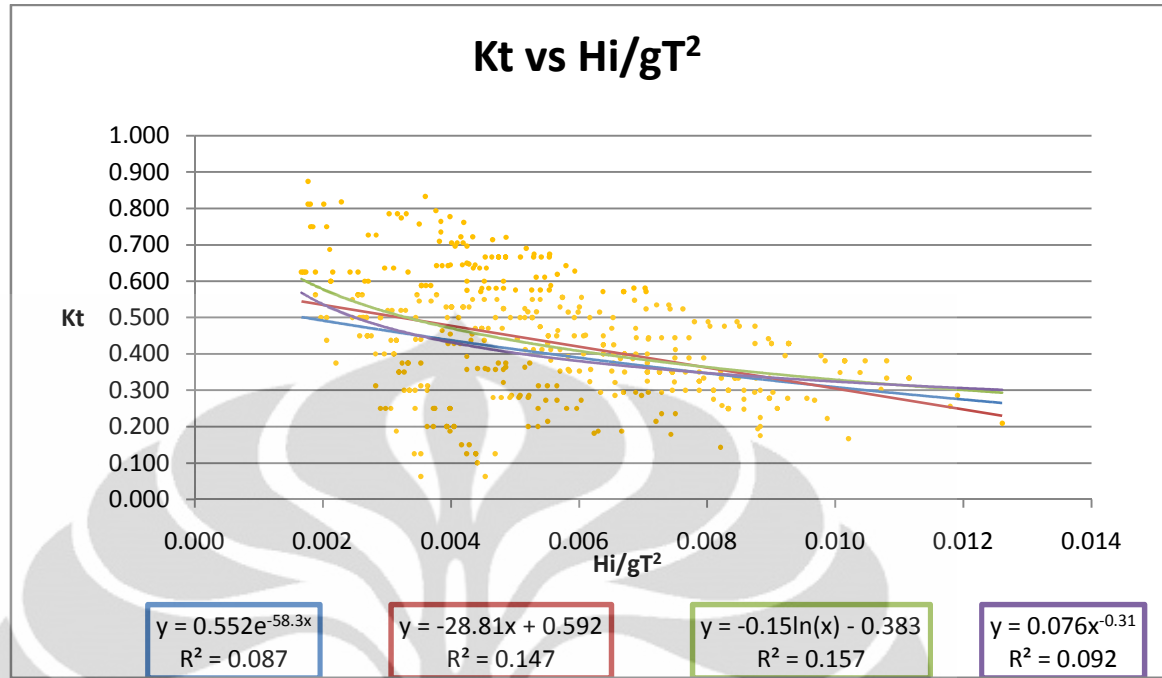
Dari persebaran data yang didapat, dilakukan pendekatan regresi. Regresi yang dilakukan adalah regresi eksponensial, regresi linear, regresi logaritmatik, dan regresi power. Berikut adalah grafik dari koefisien transmisi terhadap pengaruh model dengan batasan tertentu.



Gambar 4.4 Grafik Korelasi Panjang Relatif B/L Terhadap Koefisien Transmisi Gelombang K_t



Gambar 4.5 Grafik Pengaruh Diameter Relatif D/gT^2 Terhadap Transmisi Gelombang K_t



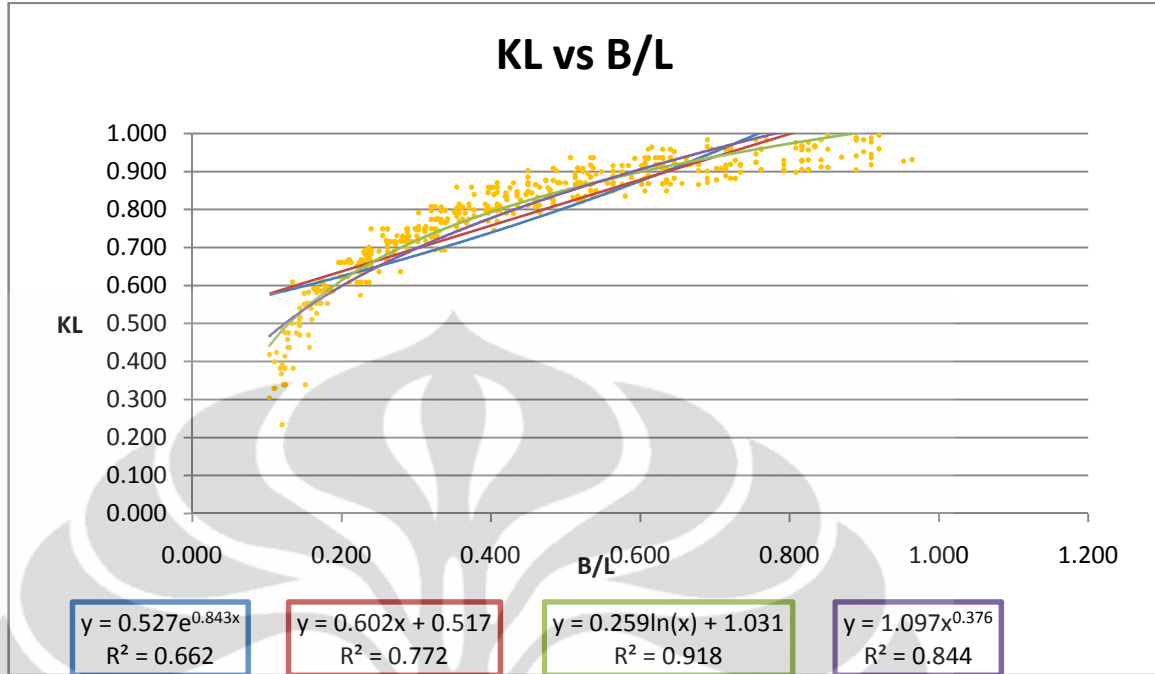
Gambar 4.6 Grafik Pengaruh Kecuraman Gelombang Hi/gT^2 Terhadap Transmisi Gelombang Kt

Tabel 4.2. Persamaan Refleksi Gelombang Kt

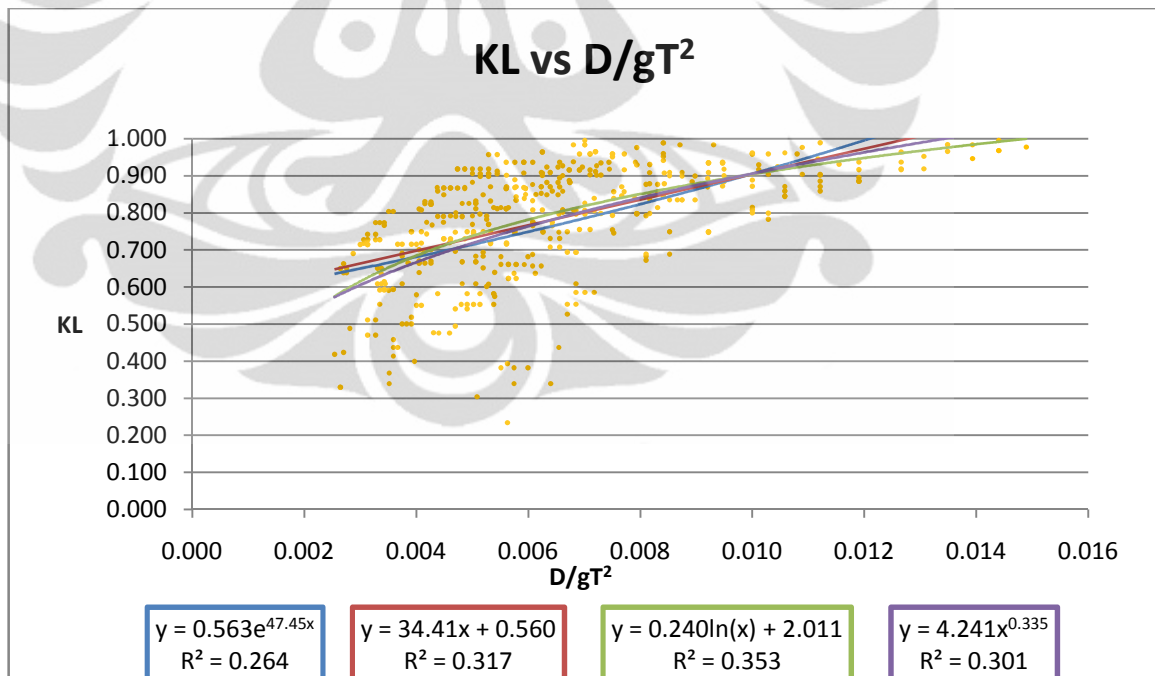
Regresi		B/L	D/ gT^2	Hi/gT^2
Eksponensial	Kt	$0.885e^{-1.8(\frac{B}{L})}$	$0.796e^{-106(\frac{D}{gT^2})}$	$0.552e^{-58.3(\frac{Hi}{gT^2})}$
	R^2	0.848	0.373	0.087
Linear	Kt	$-0.693(\frac{B}{L}) + 0.739$	$-39.94(\frac{D}{gT^2}) + 0.691$	$-28.81(\frac{Hi}{gT^2}) + 0.592$
	R^2	0.871	0.364	0.147
Logaritmatik	Kt	$-0.28\ln(\frac{B}{L}) + 0.161$	$-0.27\ln(\frac{D}{gT^2}) - 0.962$	$-0.15\ln(\frac{Hi}{gT^2}) - 0.383$
	R^2	0.933	0.389	0.157
Power	Kt	$0.205(\frac{B}{L})^{-0.69}$	$0.01(\frac{D}{gT^2})^{-0.7}$	$0.076(\frac{Hi}{gT^2})^{-0.31}$
	R^2	0.806	0.375	0.092

4.1.3. Koefisien Kehilangan Energi

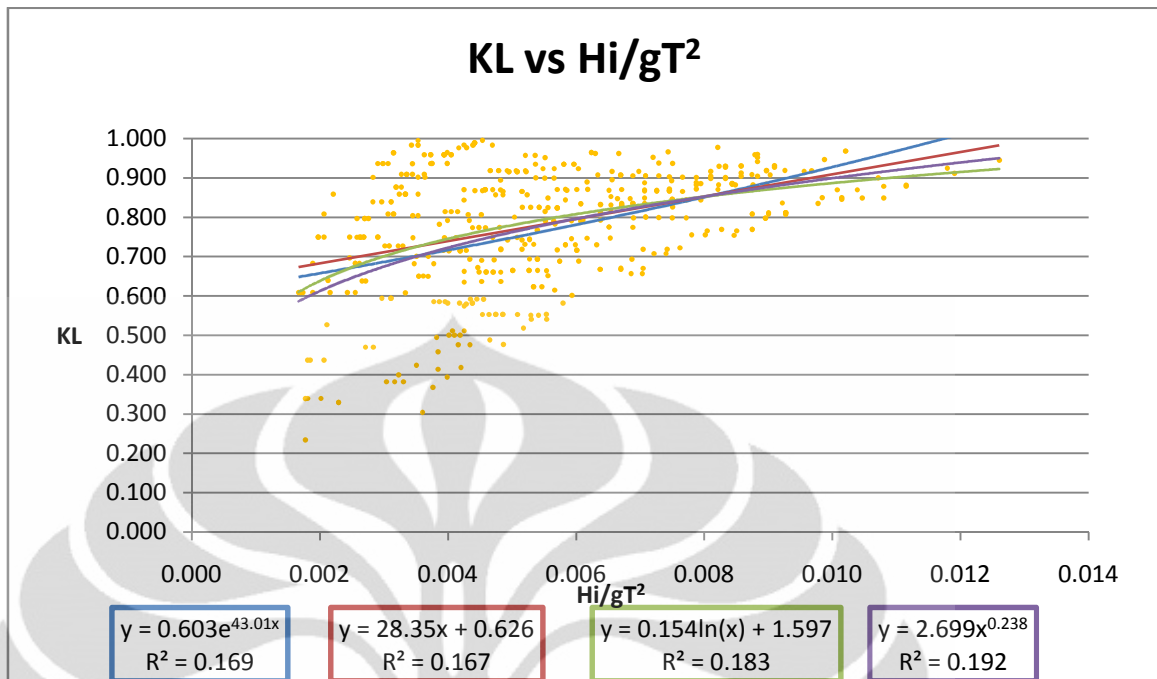
Dari persebaran data yang didapat, dilakukan pendekatan regresi. Regresi yang dilakukan adalah regresi eksponensial, regresi linear, regresi logaritmatik, dan regresi power. Berikut adalah grafik dari koefisien kehilangan energi terhadap pengaruh model dengan batasan tertentu.



Gambar 4.7 Grafik Korelasi Panjang Relatif B/L Terhadap Koefisien Kehilangan Energi KL



Gambar 4.8 Grafik Korelasi Diameter Relatif D/gT² Terhadap Koefisien Kehilangan Energi KL



Gambar 4.9 Grafik Korelasi Kecuraman Gelombang Hi/gT^2 Terhadap Koefisien Kehilangan Energi

Tabel 4.3. Persamaan Refleksi Gelombang KL

Regresi	B/L	D/gT ²	Hi/gT ²
Eksponensial	KL $0.527e^{0.843(\frac{B}{L})}$	$0.563e^{47.45(\frac{D}{gT^2})}$	$0.603e^{43.01(\frac{Hi}{gT^2})}$
	R^2 0.662	0.264	0.169
Linear	KL $0.602\left(\frac{B}{L}\right) + 0.517$	$34.41\left(\frac{D}{gT^2}\right) + 0.56$	$28.35\left(\frac{Hi}{gT^2}\right) + 0.626$
	R^2 0.772	0.317	0.167
Logaritmatik	KL $0.259\ln\left(\frac{B}{L}\right) + 1.031$	$0.24\ln\left(\frac{D}{gT^2}\right) + 2.011$	$0.154\ln\left(\frac{Hi}{gT^2}\right) + 1.597$
	R^2 0.918	0.353	0.183
Power	KL $1.097\left(\frac{B}{L}\right)^{-0.69}$	$4.241\left(\frac{D}{gT^2}\right)^{0.335}$	$2.699\left(\frac{Hi}{gT^2}\right)^{0.238}$
	R^2 0.844	0.301	0.192

4.2. Analisis Data

4.2.1. Analisis Regresi

Dari hasil grafik-grafik yang sudah diplot, dapat dilihat bahwa persebaran data lebih mengarah kepada fungsi logaritmatik. Hal ini juga diperkuat oleh nilai koefisien determinasi R^2 yang paling mendekati 100% (Tabel 4.1, Tabel 4.2, dan Tabel 4.3) daripada regresi lainnya. Oleh karena itu penurunan fungsi yang digunakan adalah fungsi logaritmatik.

4.2.2. Analisis Koefisien Refleksi

Gelombang refleksi yang terjadi karena sebagian pentulan energi flux gelombang tidak dapat melalui konstruksi silinder horizontal. Hasil dari pengujian menunjukkan bahwa:

- Koefisien refleksi cenderung naik dengan semakin bertambahnya panjang puncak relatif model (Gambar 4.1). Perubahan nilai koefisien tersebut sesuai dengan persamaan

$$Kr = 0.014 \ln \left(\frac{B}{L} \right) + 0.064$$

Dengan nilai determinasi sebesar 9.2% (Tabel 4.1)

- Koefisien refleksi cenderung turun dengan semakin bertambahnya diameter relatif model (Gambar 4.2). Perubahan nilai koefisien tersebut sesuai dengan persamaan

$$Kr = -0.005 \ln \left(\frac{D}{gT^2} \right) + 0.023$$

Dengan nilai determinasi sebesar 0.6% (Tabel 4.1)

- Koefisien refleksi cenderung naik dengan semakin bertambahnya kecuraman gelombang (Gambar 4.3). Perubahan nilai koefisien tersebut sesuai dengan persamaan

$$Kr = -0.005 \ln \left(\frac{D}{gT^2} \right) + 0.023$$

Dengan nilai determinasi sebesar 65.1% (Tabel 4.1)

4.2.3. Analisis Koefisien Transmisi

Sebagian energi flux gelombang yang diteruskan oleh susunan silinder menyebabkan transmisi gelombang. Besarnya energi flux gelombang tersebut akan menentukan tingginya transmisi gelombang yang terjadi. Hasil dari pengujian menunjukkan bahwa:

- Koefisien transmisi cenderung naik turun semakin bertambahnya panjang puncak relatif model (Gambar 4.4). Perubahan nilai koefisien tersebut sesuai dengan persamaan

$$Kt = -0.28 \ln \left(\frac{B}{L} \right) + 0.161$$

Dengan nilai determinasi sebesar 93.3% (Tabel 4.2)

- Koefisien transmisi cenderung turun dengan semakin bertambahnya diameter relatif model (Gambar 4.5). Perubahan nilai koefisien tersebut sesuai dengan persamaan

$$K_t = -0.27 \ln \left(\frac{D}{gT^2} \right) - 0.962$$

Dengan nilai determinasi sebesar 38.9% (Tabel 4.2)

- Koefisien transmisi cenderung turun dengan semakin bertambahnya kecuraman gelombang (Gambar 4.6). Perubahan nilai koefisien tersebut sesuai dengan persamaan

$$K_t = -0.15 \ln \left(\frac{H_i}{gT^2} \right) - 0.383$$

Dengan nilai determinasi sebesar 15.7% (Tabel 4.2)

4.2.4. Analisis Koefisien Kehilangan Energi

Pada saat gelombang melalui struktur silinder, sebagian flux energi gelombang akan mengalami kehilangan energi. Kehilangan energi gelombang ini dapat disebabkan oleh gesekan partikel silinder, turbulensi aliran dalam silinder, peredaman energi potensial gelombang akibat fluktuasi muka air oleh panjang silinder, dan peredaman energi kinetik gelombang akibat peredaman kecepatan partikel arah vertikal dan horizontal. Hasil dari pengujian menunjukkan bahwa:

- Koefisien refleksi cenderung naik dengan semakin bertambahnya panjang puncak relatif model (Gambar 4.7). Perubahan nilai koefisien tersebut sesuai dengan persamaan

$$KL = 0.259 \ln \left(\frac{B}{L} \right) + 1.031$$

Dengan nilai determinasi sebesar 91.8% (Tabel 4.3)

- Koefisien refleksi cenderung naik dengan semakin bertambahnya diameter relatif model (Gambar 4.8). Perubahan nilai koefisien tersebut sesuai dengan persamaan

$$KL = 0.24 \ln \left(\frac{D}{gT^2} \right) + 2.011$$

Dengan nilai determinasi sebesar 35.3% (Tabel 4.3)

- Koefisien refleksi cenderung naik dengan semakin bertambahnya kecuraman gelombang (Gambar 4.9). Perubahan nilai koefisien tersebut sesuai dengan persamaan

$$KL = 0.154 \ln \left(\frac{H_i}{g T^2} \right) + 1.597$$

Dengan nilai determinasi sebesar 18.3% (Tabel 4.3)



BAB 5

PENUTUP

5.1. Kesimpulan

Kesimpulan yang didapat pada penelitian ini berupa korelasi antara koefisien refleksi, transmisi, dan kehilangan energi dengan panjang silinder, diameter silinder, dan kemiringan gelombang. Hal lain yang didapat yaitu persamaan refleksi gelombang, persamaan transmisi gelombang dan persamaan kehilangan energi.

5.1.1. Koefisien Refleksi

- Koefisien refleksi (K_r) berbanding lurus dengan panjang peredam gelombang (B). Koefisien refleksi menurun dengan berkurangnya panjang peredam gelombang, sebaliknya koefisien refleksi meningkat dengan bertambahnya panjang peredam gelombang.
- Koefisien refleksi (K_r) berbanding terbalik dengan diameter peredam gelombang (D). Koefisien refleksi meningkat dengan berkurangnya diameter peredam gelombang, sebaliknya koefisien refleksi menurun dengan bertambahnya diameter peredam gelombang.
- Koefisien refleksi (K_r) berbanding lurus dengan kemiringan gelombang (*wave steepness*). Koefisien refleksi menurun dengan berkurangnya kemiringan gelombang, sebaliknya koefisien refleksi meningkat dengan bertambahnya kemiringan gelombang.
- Model persamaan refleksi gelombang adalah

$$K_r = 0.014 \ln \left(\frac{B}{L} \right) - 0.005 \ln \left(\frac{D}{gT^2} \right) + 0.049 \ln \left(\frac{H_i}{gT^2} \right) + 0.4$$

Parameter prediktor yang mempunyai pengaruh paling besar adalah H_i/gT^2 dengan nilai korelasi sebesar 0.651, sedang yang mempunyai pengaruh kecil adalah parameter D/gT^2 dengan nilai korelasi 0.06. Model persamaan ini hanya berlaku pada kondisi

$$\begin{aligned}0.964 \leq (B/L) &\leq 0.003; \\0.015 \leq (D/gT^2) &\leq 0.002; \\0.013 \leq (Hi/gT^2) &\leq 0.002.\end{aligned}$$

Nilai koefisien determinasi yang didapat dari koefisien refleksi sangatlah kecil, maka hal ini dapat diragukan keabsahan dari fungsi tersebut.

5.1.2. Koefisien Transmisi

- Koefisien transmisi (K_t) berbanding terbalik dengan panjang peredam gelombang (B). Koefisien transmisi meningkat dengan berkurangnya panjang perdam gelombang, sebaliknya koefisien transmisi menurun dengan bertambahnya panjang peredam gelombang.
- Koefisien transmisi (K_t) berbanding terbalik dengan diameter peredam gelombang (D). Koefisien transmisi meningkat dengan berkurangnya diameter perdam gelombang, sebaliknya koefisien transmisi menurun dengan bertambahnya diameter peredam gelombang.
- Koefisien transmisi (K_t) berbanding terbalik dengan kemiringan gelombang (*wave steepness*). Koefisien transmisi meningkat dengan berkurangnya kemiringan gelombang, sebaliknya koefisien transmisi menurun dengan bertambahnya kemiringan gelombang.
- Model persamaan transmisi gelombang adalah

$$K_t = -0.028 \ln\left(\frac{B}{L}\right) - 0.27 \ln\left(\frac{D}{gT^2}\right) - 0.15 \ln\left(\frac{Hi}{gT^2}\right) - 1.184$$

Parameter prediktor yang mempunyai pengaruh paling besar adalah B/L dengan nilai korelasi sebesar 0.933, sedang yang mempunyai pengaruh kecil adalah parameter Hi/gT^2 dengan nilai korelasi 0.157. Model persamaan ini hanya berlaku pada kondisi

$$\begin{aligned}0.964 \leq (B/L) &\leq 0.003; \\0.015 \leq (D/gT^2) &\leq 0.002; \\0.013 \leq (Hi/gT^2) &\leq 0.002.\end{aligned}$$

5.1.3. Koefisien Kehilangan Energi

- Koefisien kehilangan energi (KL) berbanding lurus dengan panjang peredam gelombang (B). Koefisien kehilangan energi menurun dengan berkurangnya panjang perdam gelombang, sebaliknya koefisien kehilangan energi meningkat dengan bertambahnya panjang peredam gelombang.
- Koefisien kehilangan energi (KL) berbanding lurus dengan diameter peredam gelombang (D). Koefisien kehilangan energi menurun dengan berkurangnya diameter perdam gelombang, sebaliknya koefisien kehilangan energi meningkat dengan bertambahnya diameter peredam gelombang.
- Koefisien kehilangan energi (KL) berbanding lurus dengan kemiringan gelombang (wave steepness). Koefisien kehilangan energi menurun dengan berkurangnya kemiringan gelombang, sebaliknya koefisien kehilangan energi meningkat dengan bertambahnya kemiringan gelombang.
- Model persamaan kehilangan energi gelombang adalah

$$KL = 0.259 \ln \left(\frac{B}{L} \right) + 0.24 \ln \left(\frac{D}{gT^2} \right) + 0.154 \ln \left(\frac{H_i}{gT^2} \right) + 4.639$$

Parameter prediktor yang mempunyai pengaruh paling besar adalah B/L dengan nilai korelasi sebesar 0.918, sedang yang mempunyai pengaruh kecil adalah parameter H_i/gT^2 dengan nilai korelasi 0.183. Model persamaan ini hanya berlaku pada kondisi

$$0.964 \leq (B/L) \leq 0.003;$$

$$0.015 \leq (D/gT^2) \leq 0.002;$$

$$0.013 \leq (H_i/gT^2) \leq 0.002.$$

5.2. Saran

Dibutuhkan variasi lebih banyak pada geometri model. Pada penelitian ini variasi model hanya berupa diameter dan panjang silinder. Dapat pula diberikan variasi koefisien gesek dan tebal silinder. Variasi lain yang bisa ditambahkan

adalah dengan membuat kondisi model temggelam karena pada penelitian ini kondisi gelombang yang datang tidak melimpas.

Sebaiknya perlu diuji juga susunan silinder yang lainya. Hal ini agar dapat diketahui bentuk penampang yang paling efisien dalam meredam gelombang.

Perlu kajian dan pemikiran lebih lanjut untuk menentukan persamaan tiap koefisien agar fungsi koefisien tersebut dapat lebih mewakili bentuk dan konfigurasi model. Hal ini tentu dapat mempengaruhi hasil perhitungan agar lebih mewakili kondisi nyata.



DAFTAR PUSTAKA

- Merle C. Potter, David C. Wiggert, 1997, *Mechanics of Fluids Second Edition*, Prentice-Hall, Upper Sadle River
- Young C Kim, 2010, *Handbook of Coastal and Ocean Engineering*, World Scientific, Singapore
- Triadmojo, B., 1999, *Teknik Pantai*, Beta Offset, Yogyakarta
- Jhonny, M. T. S., *Bahan Kuliah Teori Model Analisa dan Dimensi*, Institut Teknologi Sepuluh Nopember, Surabaya.
- Jhonny, M. T. S., *Studi Peredam Gelombang Berbentuk Gergaji Di Daerah Tropis*, Institut Teknologi Sepuluh Nopember, Surabaya.
- Dirgayusa, 1997, *Transmisi Gelombang Melalui Pemecah Gelombang Susunan Pipa Horizontal*, Institut Teknologi Sepuluh Nopember, Surabaya.
- Dimas Satyagangga Ardaputra, *Pengaruh Variasi Ketinggian Penempatan Rakit Budidaya Rumput Laut Ganda Dalam Mereduksi Gelombang*, , Institut Teknologi Surabaya, Surabaya
- Dimas Satyagangga Ardaputra, *Transmisi Gelombang Pada Model Fisik Floating Breakwater Polyethylene* , Institut Teknologi Surabaya, Surabaya
- Setyorini, N., (2002)., *Efektifitas Terumbu Buatan (Artificial Reef) Bentuk kubus berlubang dengan penyusunan yang berbeda terhadap peredaman energi gelombang*, Tesis, Institut Teknologi Sepuluh Nopember, Surabaya.
- Sudoto, (2008)., *Karakteristik Transmisi Gelombang Yang Melalui Susunan Terumbu Buatan Bentuk Kubus Berongga Sebagai Submerged Breakwater*, Tesis, Institut Teknologi Sepuluh Nopember, Surabaya.
- Andojo Wurjanto, Harman Ajiwibowo, Rahmat Zamzami, 2010, *Pemodelan Fisik 2-D untuk Mengukur Tingkat Efektivitas Perforated Skirt Breakwater pada Kategori Gelombang Panjang*, Institut Teknologi Bandung, Bandung
- Walpole, Ronald E., (1997), *Pengantar Statistik*, Penerbit: PT. Gramedia Pustaka Utama, Jakarta

Kyung-Duck Suh, Yeul Woo Kim, Chang-Hwan Ji ,*Calculation of Permeability Parameter of Perforated Wall*, Department of Civil and Environmental Engineering, Seoul National University

K.R. Hall, *Wave Transmission on Submerged Breakwaters Made of Hollow Hemispherical Shape Artificial Reefs*, Department of Civil Engineering, Queens University, Kingston, Canada

http://en.wikipedia.org/wiki/Transmission_coefficient

http://en.wikipedia.org/wiki/Reflection_coefficient

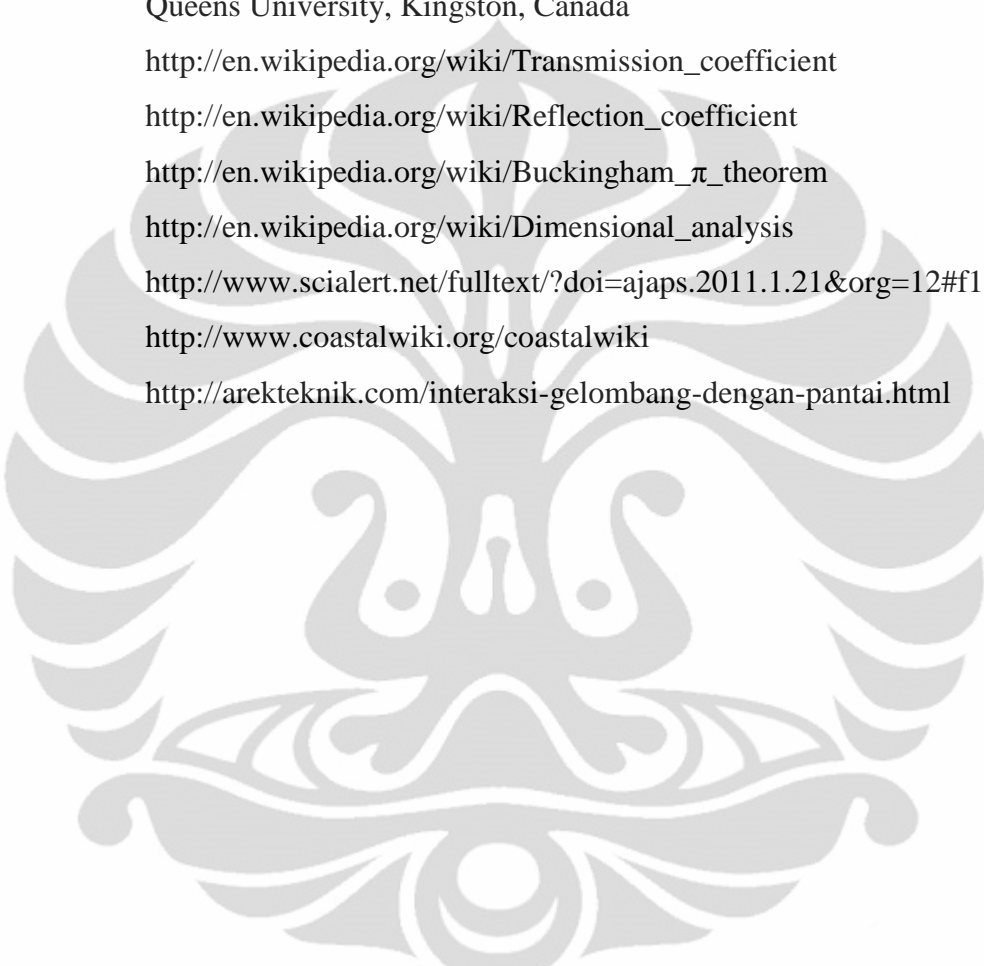
http://en.wikipedia.org/wiki/Buckingham_π_theorem

http://en.wikipedia.org/wiki/Dimensional_analysis

<http://www.scialert.net/fulltext/?doi=ajaps.2011.1.21&org=12#f1>

<http://www.coastalwiki.org/coastalwiki>

<http://arekteknik.com/interaksi-gelombang-dengan-pantai.html>





Tanggal : 7 Juni 2011
 Diemter silinder : 5.08 cm
 Panjang silinder : 80 cm
 $H_{i\max}$: 17 cm
 $H_{i\min}$: 13 cm

T	L	$H_{r\max}$	$H_{r\min}$	$H_{t\max}$	$H_{t\min}$
0.98	355	15.7	14.2	16.3	13.7
0.95	320	15.8	14.2	16.2	13.8
0.92	287	15.8	14.2	16.2	13.8
0.88	246	15.9	14.2	16.1	13.9
0.87	240	15.9	14.1	16.1	13.9
0.87	237	15.9	14.1	16.1	13.9
0.83	198	16	14.1	16.0	14.0
0.80	172	16	14	15.9	14.1
0.79	165.5	16	14	15.8	14.1
0.78	155	16	14	15.8	14.2
0.77	152	16	14	15.8	14.2
0.77	149	16	14	15.8	14.2
0.76	138	16	14	15.8	14.2
0.74	126	16	13.9	15.7	14.3
0.72	116	16.1	13.9	15.7	14.3
0.72	112	16.1	13.9	15.6	14.3
0.71	105	16.1	13.9	15.6	14.4
0.69	97	16.1	13.9	15.6	14.4
0.68	90	16.1	13.9	15.6	14.4
0.67	83	16.2	13.9	15.5	14.5

Tanggal : 7 Juni 2011
 Diemter silinder : 5.08 cm
 Panjang silinder : 80 cm
 H_{\max} : 16.6 cm
 H_{\min} : 13.4 cm

T	L	$H_{r\max}$	$H_{r\min}$	$H_{t\max}$	$H_{t\min}$
0.99	362	15.5	14.5	16.0	14.0
0.97	344	15.5	14.5	15.9	14.1
0.93	298	15.5	14.5	15.9	14.1
0.91	278	15.6	14.5	15.8	14.2
0.89	257	15.6	14.4	15.8	14.2
0.87	240	15.6	14.4	15.7	14.3
0.85	221	15.6	14.4	15.7	14.3
0.83	200	15.6	14.4	15.6	14.4
0.82	188	15.6	14.4	15.6	14.4
0.79	168	15.6	14.4	15.6	14.4
0.78	153	15.7	14.4	15.5	14.5
0.77	146	15.7	14.3	15.5	14.5
0.76	139	15.7	14.3	15.5	14.5
0.75	135	15.7	14.3	15.4	14.6
0.75	131	15.7	14.3	15.4	14.6
0.75	131	15.7	14.3	15.4	14.6
0.74	127	15.7	14.3	15.4	14.6
0.74	125	15.7	14.3	15.4	14.6
0.72	111	15.7	14.3	15.3	14.7
0.70	99	15.7	14.3	15.3	14.7

Tanggal : 7 Juni 2011
 Diemter silinder : 5.08 cm
 Panjang silinder : 80 cm
 H_{\max} : 16 cm
 H_{\min} : 14 cm

T	L	$H_{r\max}$	$H_{r\min}$	$H_{t\max}$	$H_{t\min}$
0.98	355	15.1	14.8	15.6	14.4
0.91	278	15.2	14.8	15.5	14.5
0.89	250	15.2	14.8	15.5	14.6
0.88	246	15.2	14.8	15.5	14.5
0.87	240	15.2	14.8	15.4	14.5
0.86	225	15.2	14.8	15.5	14.6
0.85	212	15.2	14.8	15.4	14.6
0.83	198	15.2	14.8	15.4	14.6
0.81	179	15.2	14.8	15.4	14.6
0.80	169	15.2	14.8	15.3	14.6
0.79	165.5	15.2	14.8	15.3	14.6
0.78	155	15.2	14.7	15.3	14.7
0.77	149	15.3	14.7	15.3	14.7
0.75	132	15.3	14.7	15.3	14.7
0.74	125	15.3	14.7	15.2	14.7
0.72	115	15.3	14.7	15.2	14.8
0.72	112	15.3	14.7	15.2	14.8
0.71	105	15.3	14.7	15.2	14.8
0.69	97	15.3	14.7	15.1	14.8
0.68	90	15.3	14.6	15.1	14.9

Tanggal : 7 Juni 2011
 Diemter silinder : 5.08 cm
 Panjang silinder : 40 cm
 H_{max} : 16.8 cm
 H_{min} : 13.2 cm

T	L	$H_{\text{r}}_{\text{max}}$	$H_{\text{r}}_{\text{min}}$	$H_{\text{t}}_{\text{max}}$	$H_{\text{t}}_{\text{min}}$
0.96	332	15.5	14.5	16.4	13.6
1.01	387	15.5	14.5	16.5	13.5
0.87	232	15.6	14.4	16.2	13.8
0.88	240.5	15.6	14.4	16.2	13.8
0.80	169	15.7	14.3	16.0	14.0
0.78	153	15.7	14.3	16.0	14.0
0.75	132	15.7	14.3	15.9	14.1
0.71	106	15.8	14.2	15.8	14.2
0.72	112	15.7	14.3	15.8	14.2
0.70	101	15.8	14.2	15.7	14.3
0.70	98	15.8	14.2	15.7	14.3
0.68	89	15.8	14.2	15.7	14.5
0.66	78	15.8	14.2	15.6	14.4
0.66	75	15.8	14.2	15.6	14.4
0.66	75	15.8	14.2	15.6	14.4
0.64	66	15.9	14.1	15.5	14.5
0.63	60	15.9	14.1	15.5	14.5
0.61	53	15.9	14.1	15.4	14.6
0.60	49	15.9	14.1	15.3	14.7
0.60	48	15.9	14.1	15.3	14.7

Tanggal : 7 Juni 2011
 Diemter silinder : 5.08 cm
 Panjang silinder : 40 cm
 $H_{r\max}$: 16.4 cm
 $H_{r\min}$: 13.6 cm

T	L	$H_{r\max}$	$H_{r\min}$	$H_{t\max}$	$H_{t\min}$
0.97	340	15.3	14.7	16.1	13.9
0.95	322	15.3	14.7	16.1	13.9
0.93	297	15.3	14.7	16.1	13.9
0.87	232	15.4	14.6	15.9	14.1
0.86	225	15.4	14.6	15.9	14.1
0.85	212	15.4	14.6	15.9	14.1
0.80	169	15.4	14.6	15.8	14.2
0.78	153	15.4	14.6	15.7	14.3
0.75	132	15.4	14.6	15.7	14.3
0.71	106	15.5	14.5	15.7	14.4
0.72	112	15.5	14.5	15.6	14.4
0.70	101	15.5	14.5	15.6	14.5
0.70	98	15.5	14.5	15.5	14.5
0.68	89	15.5	14.5	15.5	14.5
0.66	78	15.5	14.5	15.5	14.6
0.66	75	15.5	14.5	15.4	14.6
0.64	66	15.5	14.5	15.4	14.6
0.63	62	15.5	14.5	15.3	14.7
0.62	58	15.6	14.4	15.3	14.8
0.59	44	15.6	14.4	15.2	14.8

Tanggal : 7 Juni 2011
 Diemter silinder : 5.08 cm
 Panjang silinder : 40 cm
 $H_{r\max}$: 15.8 cm
 $H_{r\min}$: 14.2 cm

T	L	$H_{r\max}$	$H_{r\min}$	$H_{t\max}$	$H_{t\min}$
0.96	333	15.1	14.9	15.7	14.3
0.95	321	15.1	14.9	15.6	14.3
0.90	264	15.1	14.9	15.6	14.3
0.89	255	15.1	14.9	15.6	14.4
0.88	240.5	15.1	14.9	15.5	14.4
0.87	232	15.1	14.9	15.5	14.5
0.80	169	15.1	14.9	15.5	14.6
0.78	153	15.1	14.9	15.4	14.6
0.75	132	15.1	14.9	15.4	14.6
0.72	112	15.1	14.9	15.4	14.7
0.68	86	15.1	14.9	15.3	14.7
0.70	101	15.1	14.9	15.3	14.7
0.70	98	15.1	14.9	15.3	14.7
0.68	89	15.1	14.9	15.3	14.8
0.66	75	15.1	14.9	15.2	14.8
0.64	66	15.1	14.9	15.2	14.8
0.64	65	15.1	14.9	15.2	14.9
0.62	58	15.1	14.8	15.1	14.9
0.61	52	15.2	14.8	15.1	14.9
0.60	47	15.2	14.8	15.1	15.0

Tanggal : 7 Juni 2011
 Diemter silinder : 3.81 cm
 Panjang silinder : 80 cm
 $H_{i\max}$: 17 cm
 $H_{i\min}$: 13 cm

T	L	$H_{r\max}$	$H_{r\min}$	$H_{t\max}$	$H_{t\min}$
0.97	345	15.9	14.1	16.1	13.9
0.92	283	16	14	16.1	14.0
0.88	245	16	14	16.0	14.0
0.86	226	16.1	13.9	15.9	14.1
0.82	191	16.1	13.9	15.8	14.2
0.82	190	16.1	13.9	15.8	14.2
0.80	173	16.2	13.8	15.8	14.2
0.79	167	16.2	13.8	15.8	14.3
0.78	154	16.2	13.8	15.7	14.3
0.76	142	16.2	13.8	15.6	14.3
0.74	127	16.2	13.8	15.6	14.4
0.73	118	16.3	13.7	15.6	14.4
0.71	109	16.3	13.7	15.6	14.5
0.70	101	16.3	13.7	15.5	14.5
0.70	98	16.3	13.7	15.5	14.5
0.69	97	16.3	13.7	15.5	14.5
0.69	95	16.3	13.7	15.5	14.5
0.68	90	16.3	13.7	15.4	14.5
0.68	89	16.3	13.7	15.4	14.6
0.68	87	16.4	13.6	15.4	14.7

Tanggal : 7 Juni 2011
 Diemter silinder : 3.81 cm
 Panjang silinder : 80 cm
 $H_{r\max}$: 16.4 cm
 $H_{r\min}$: 13.6 cm

T	L	$H_{r\max}$	$H_{r\min}$	$H_{t\max}$	$H_{t\min}$
0.91	278	15.6	14.4	15.7	14.3
0.86	226	15.6	14.4	15.7	14.4
0.85	216	15.6	14.4	15.6	14.4
0.84	204	15.6	14.4	15.6	14.4
0.83	196	15.6	14.4	15.6	14.4
0.82	190.5	15.6	14.4	15.6	14.5
0.82	186	15.6	14.4	15.5	14.5
0.79	163.5	15.6	14.4	15.5	14.5
0.79	163	15.6	14.4	15.5	14.5
0.79	162.5	15.6	14.4	15.5	14.5
0.78	160	15.6	14.4	15.5	14.5
0.77	152	15.7	14.3	15.5	14.5
0.77	151	15.7	14.3	15.5	14.6
0.76	142	15.7	14.3	15.4	14.6
0.76	139	15.7	14.3	15.4	14.6
0.75	137	15.7	14.3	15.4	14.6
0.75	133	15.7	14.3	15.4	14.6
0.74	129	15.7	14.3	15.4	14.6
0.73	121	15.7	14.3	15.4	14.7
0.72	111	15.7	14.3	15.3	14.7

Tanggal : 7 Juni 2011
 Diemter silinder : 3.81 cm
 Panjang silinder : 80 cm
 $H_{r\max}$: 16 cm
 $H_{r\min}$: 14 cm

T	L	$H_{r\max}$	$H_{r\min}$	$H_{t\max}$	$H_{t\min}$
0.98	355	15.3	14.7	15.6	14.4
0.91	278	15.3	14.7	15.5	14.4
0.89	250	15.3	14.7	15.5	14.5
0.88	246	15.3	14.7	15.5	14.5
0.87	240	15.3	14.7	15.4	14.5
0.81	179	15.3	14.7	15.4	14.6
0.80	169	15.3	14.7	15.3	14.6
0.79	165.5	15.3	14.7	15.3	14.7
0.78	155	15.4	14.6	15.3	14.7
0.78	153	15.4	14.6	15.3	14.7
0.77	149	15.4	14.6	15.2	14.7
0.75	131	15.4	14.6	15.2	14.8
0.74	127	15.4	14.6	15.2	14.8
0.74	125	15.4	14.6	15.2	14.8
0.72	112	15.4	14.6	15.2	14.8
0.72	111	15.4	14.6	15.2	14.8
0.71	105	15.4	14.6	15.2	14.8
0.70	99	15.4	14.6	15.2	14.9
0.68	90	15.4	14.6	15.1	14.9
0.68	88	15.4	14.6	15.1	14.9

Tanggal : 7 Juni 2011
 Diemter silinder : 3.81 cm
 Panjang silinder : 40 cm
 $H_{i\max}$: 17.2 cm
 $H_{i\min}$: 12.9 cm

T	L	$H_{r\max}$	$H_{r\min}$	$H_{t\max}$	$H_{t\min}$
0.95	323	15.9	14.2	16.6	13.5
0.91	278	16	14.1	16.5	13.6
0.89	252	16	14.1	16.5	13.6
0.86	226	16	14.1	16.4	13.7
0.80	177	16.1	14	16.3	13.8
0.79	167	16.1	14	16.3	13.8
0.78	153	16.2	13.9	16.2	13.9
0.77	147	16.2	13.9	16.2	13.9
0.75	132	16.2	13.9	16.1	14.0
0.74	128	16.2	13.9	16.1	14.0
0.72	113	16.3	13.8	16.1	14.0
0.70	101	16.3	13.8	16.0	14.1
0.70	98	16.3	13.8	16.0	14.1
0.69	92	16.3	13.8	15.9	14.2
0.67	84	16.4	13.7	15.9	14.2
0.66	77	16.4	13.7	15.8	14.3
0.65	72	16.4	13.7	15.8	14.3
0.64	67	16.4	13.7	15.8	14.5
0.61	53	16.5	13.6	15.6	14.5
0.59	44	16.6	13.5	15.5	14.6

Tanggal : 7 Juni 2011
 Diemter silinder : 3.81 cm
 Panjang silinder : 40 cm
 $H_{r\max}$: 16.8 cm
 $H_{r\min}$: 13.2 cm

T	L	$H_{r\max}$	$H_{r\min}$	$H_{t\max}$	$H_{t\min}$
0.94	311	15.7	14.3	16.3	13.7
0.92	287	15.7	14.3	16.3	13.7
0.90	261	15.7	14.3	16.2	13.8
0.89	255	15.7	14.3	16.2	13.8
0.88	241	15.7	14.3	16.2	13.8
0.87	233	15.7	14.3	16.2	13.8
0.85	221	15.7	14.3	16.2	13.8
0.83	202	15.8	14.2	16.1	13.9
0.83	198	15.8	14.2	16.1	13.9
0.82	192	15.8	14.2	16.1	13.9
0.80	174	15.8	14.2	16.0	14.0
0.73	118	15.9	14.1	15.8	14.2
0.70	102	15.9	14.1	15.8	14.2
0.69	97	15.9	14.1	15.8	14.2
0.69	92	16	14	15.7	14.3
0.68	88	16	14	15.7	14.3
0.66	78	16	14	15.6	14.4
0.64	68	16	14	15.6	14.4
0.64	64	16	14	15.5	14.5
0.62	56	16.1	13.9	15.5	14.5

Tanggal : 7 Juni 2011
 Diemter silinder : 3.81 cm
 Panjang silinder : 40 cm
 $H_{r\max}$: 16.5 cm
 $H_{r\min}$: 13.4 cm

T	L	$H_{r\max}$	$H_{r\min}$	$H_{t\max}$	$H_{t\min}$
0.99	362	15.4	14.5	16.2	13.8
0.91	278	15.5	14.4	16.1	13.9
0.89	257	15.5	14.4	16.0	14.0
0.87	240	15.5	14.4	16.0	14.0
0.85	221	15.5	14.4	16.0	14.0
0.85	216	15.5	14.4	16.0	14.0
0.84	204	15.5	14.4	15.9	14.1
0.83	200	15.5	14.4	15.9	14.1
0.83	196	15.5	14.4	15.9	14.1
0.82	190.5	15.5	14.4	15.9	14.1
0.82	188	15.6	14.3	15.9	14.1
0.81	179	15.6	14.3	15.9	14.1
0.78	157	15.6	14.3	15.8	14.2
0.77	146	15.6	14.3	15.8	14.2
0.72	114	15.7	14.2	15.7	14.3
0.69	92	15.7	14.2	15.6	14.4
0.68	89	15.7	14.2	15.6	14.4
0.65	74	15.7	14.2	15.5	14.5
0.62	55	15.8	14.1	15.4	14.6
0.60	47	15.8	14.1	15.3	14.7

Tanggal : 8 Juni 2011
 Diemter silinder : 3.175 cm
 Panjang silinder : 80 cm
 $H_{i\max}$: 17 cm
 $H_{i\min}$: 13 cm

T	L	$H_{r\max}$	$H_{r\min}$	$H_{t\max}$	$H_{t\min}$
0.98	356	16	14	16.2	13.8
0.93	295	16.1	13.9	16.1	13.9
0.89	256	16.1	13.9	16.0	13.9
0.88	242	16.2	13.8	16.0	14.0
0.87	235	16.2	13.8	16.0	14.1
0.86	226	16.2	13.8	15.9	14.1
0.85	219	16.2	13.8	15.9	14.1
0.83	202	16.2	13.8	15.9	14.1
0.82	190	16.2	13.8	15.9	14.1
0.82	186	16.3	13.7	15.9	14.1
0.80	174	16.3	13.7	15.9	14.2
0.80	169	16.3	13.7	15.8	14.2
0.78	157	16.3	13.7	15.8	14.2
0.76	142	16.3	13.7	15.7	14.3
0.75	131	16.4	13.6	15.7	14.3
0.74	127	16.4	13.6	15.7	14.3
0.72	116	16.4	13.6	15.6	14.4
0.70	101	16.4	13.6	15.6	14.4
0.70	98	16.5	13.5	15.5	14.5
0.67	84	16.5	13.5	15.5	14.5

Tanggal : 8 Juni 2011
 Diemter silinder : 3.175 cm
 Panjang silinder : 80 cm
 $H_{r\max}$: 16.7 cm
 $H_{r\min}$: 13.3 cm

T	L	$H_{r\max}$	$H_{r\min}$	$H_{t\max}$	$H_{t\min}$
0.99	363	15.8	14.2	16.0	14.0
0.98	354	15.8	14.2	16.0	14.0
0.94	302	15.9	14.1	15.9	14.1
0.93	294	15.9	14.1	15.9	14.1
0.91	272	15.9	14.1	15.9	14.1
0.90	265	15.9	14.1	15.9	14.1
0.88	242	15.9	14.1	15.8	14.2
0.85	221	15.9	14.1	15.8	14.2
0.83	199	16	14	15.7	14.2
0.82	190	16	14	15.7	14.3
0.81	182	16	14	15.7	14.3
0.80	174	16	14	15.7	14.3
0.80	173	16	14	15.7	14.3
0.79	167	16	14	15.6	14.3
0.78	155	16	14	15.6	14.4
0.76	142	16	14	15.6	14.4
0.75	131	16.1	13.9	15.5	14.4
0.74	127	16.1	13.9	15.5	14.5
0.72	113	16.1	13.9	15.5	14.5
0.69	92	16.2	13.8	15.4	14.6

Tanggal : 8 Juni 2011
 Diemter silinder : 3.175 cm
 Panjang silinder : 80 cm
 $H_{i\max}$: 15.8 cm
 $H_{i\min}$: 14.2 cm

T	L	$H_{r\max}$	$H_{r\min}$	$H_{t\max}$	$H_{t\min}$
0.99	362	15.2	14.8	15.5	14.5
0.98	355	15.2	14.8	15.5	14.5
0.97	344	15.2	14.8	15.5	14.5
0.93	298	15.2	14.8	15.5	14.6
0.91	278	15.2	14.8	15.4	14.6
0.91	278	15.2	14.8	15.4	14.6
0.89	257	15.2	14.8	15.4	14.6
0.89	250	15.2	14.8	15.4	14.7
0.86	226	15.2	14.8	15.3	14.7
0.76	142	15.3	14.7	15.3	14.8
0.75	131	15.3	14.7	15.2	14.8
0.74	129	15.3	14.7	15.2	14.8
0.74	127	15.3	14.7	15.2	14.8
0.73	121	15.3	14.7	15.2	14.8
0.72	112	15.3	14.7	15.2	14.9
0.72	111	15.3	14.7	15.2	14.9
0.69	95	15.3	14.7	15.1	14.9
0.68	90	15.3	14.7	15.1	14.9
0.68	89	15.3	14.7	15.1	14.9
0.68	87	15.3	14.7	15.0	14.9

Tanggal : 8 Juni 2011
 Diemter silinder : 3.175 cm
 Panjang silinder : 40 cm
 $H_{i\max}$: 17.2 cm
 $H_{i\min}$: 13 cm

T	L	$H_{r\max}$	$H_{r\min}$	$H_{t\max}$	$H_{t\min}$
0.91	278	16.1	14.1	16.5	13.6
0.90	267	16.1	14.1	16.5	13.7
0.89	252	16.1	14.1	16.5	13.7
0.86	226	16.1	14.1	16.5	13.8
0.82	191	16.2	14	16.3	13.9
0.82	190	16.2	14	16.3	13.9
0.80	177	16.2	14	16.3	13.9
0.80	173	16.2	14	16.3	13.9
0.79	167	16.3	13.9	16.3	14.0
0.78	154	16.3	13.9	16.2	14.0
0.76	142	16.3	13.9	16.2	14.0
0.73	118	16.4	13.8	16.1	14.1
0.71	109	16.4	13.8	16.1	14.1
0.70	101	16.4	13.8	16.0	14.2
0.70	98	16.4	13.8	16.0	14.2
0.69	97	16.4	13.8	16.0	14.2
0.68	87	16.5	13.7	16.0	14.2
0.65	72	16.5	13.7	15.9	14.3
0.63	63	16.6	13.6	15.8	14.4
0.62	57	16.6	13.6	15.8	14.4

Tanggal : 8 Juni 2011
 Diemter silinder : 3.175 cm
 Panjang silinder : 40 cm
 H_{max} : 16.7 cm
 H_{min} : 13.3 cm

T	L	$H_{\text{r}}_{\text{max}}$	$H_{\text{r}}_{\text{min}}$	$H_{\text{t}}_{\text{max}}$	$H_{\text{t}}_{\text{min}}$
0.96	335	15.5	14.5	16.3	13.6
0.95	323	15.5	14.5	16.3	13.7
0.95	314	15.5	14.5	16.3	13.8
0.93	299	15.5	14.5	16.2	13.8
0.92	282	15.5	14.5	16.2	13.8
0.91	279	15.5	14.5	16.2	13.8
0.90	267	15.6	14.4	16.2	14.0
0.79	167	15.7	14.3	16.0	14.0
0.78	154	15.7	14.3	15.9	14.1
0.76	142	15.8	14.2	15.9	14.1
0.76	138	15.8	14.2	15.9	14.1
0.75	133	15.8	14.2	15.9	14.2
0.73	122	15.8	14.2	15.8	14.2
0.73	117	15.8	14.2	15.8	14.2
0.71	108	15.9	14.1	15.8	14.2
0.70	98	15.9	14.1	15.8	14.3
0.68	87	15.9	14.1	15.7	14.3
0.65	72	16	14	15.6	14.4
0.63	63	16	14	15.5	14.5
0.62	57	16.1	13.9	15.5	14.5

Tanggal : 8 Juni 2011
 Diemter silinder : 3.175 cm
 Panjang silinder : 40 cm
 $H_{r\max}$: 15.8 cm
 $H_{r\min}$: 14.2 cm

T	L	$H_{r\max}$	$H_{r\min}$	$H_{t\max}$	$H_{t\min}$
0.96	327	15.2	14.8	15.7	14.4
0.95	313	15.2	14.8	15.6	14.4
0.94	307	15.2	14.8	15.6	14.4
0.93	298	15.2	14.8	15.6	14.6
0.79	167	15.2	14.8	15.4	14.5
0.82	190	15.2	14.8	15.5	14.5
0.80	173	15.2	14.8	15.5	14.6
0.79	167	15.2	14.8	15.4	14.6
0.80	169	15.2	14.8	15.5	14.5
0.78	157	15.2	14.8	15.4	14.6
0.75	134	15.2	14.8	15.4	14.6
0.73	123	15.2	14.8	15.4	14.7
0.72	112	15.2	14.8	15.3	14.6
0.71	107	15.2	14.8	15.3	14.7
0.70	99	15.3	14.7	15.3	14.7
0.67	82	15.3	14.7	15.2	14.7
0.66	79	15.3	14.7	15.2	14.8
0.64	64	15.3	14.7	15.2	14.8
0.61	53	15.3	14.7	15.1	14.9
0.59	45	15.3	14.7	15.1	14.9

Tanggal : 8 Juni 2011
 Diemter silinder : 2.54 cm
 Panjang silinder : 80 cm
 H_{max} : 17 cm
 H_{min} : 13 cm

T	L	$H_{\text{r}}_{\text{max}}$	$H_{\text{r}}_{\text{min}}$	$H_{\text{t}}_{\text{max}}$	$H_{\text{t}}_{\text{min}}$
0.98	355	16.2	13.8	16.2	13.9
0.95	320	16.2	13.8	16.1	13.9
0.92	287	16.2	13.8	16.0	13.9
0.91	278	16.3	13.7	16.0	14.0
0.89	257	16.3	13.7	16.0	14.0
0.87	240	16.3	13.7	15.9	14.0
0.80	173	16.4	13.6	15.9	14.2
0.79	167	16.4	13.6	15.8	14.2
0.78	154	16.5	13.5	15.8	14.2
0.76	142	16.5	13.5	15.8	14.3
0.76	139	16.5	13.5	15.7	14.3
0.75	137	16.5	13.5	15.7	14.3
0.75	133	16.5	13.5	15.7	14.3
0.74	127	16.5	13.5	15.7	14.3
0.74	125	16.5	13.5	15.7	14.3
0.73	118	16.6	13.4	15.7	14.3
0.72	111	16.6	13.4	15.7	14.4
0.71	109	16.6	13.4	15.6	14.4
0.70	99	16.6	13.4	15.6	14.4
0.69	95	16.6	13.4	15.6	14.5

Tanggal : 8 Juni 2011
 Diemter silinder : 2.54 cm
 Panjang silinder : 80 cm
 $H_{r\max}$: 16.7 cm
 $H_{r\min}$: 13.3 cm

T	L	$H_{r\max}$	$H_{r\min}$	$H_{t\max}$	$H_{t\min}$
0.99	362	15.9	14.1	16.0	14.0
0.97	344	15.9	14.1	16.0	14.0
0.93	298	16	14	15.9	14.1
0.91	278	16	14	15.9	14.1
0.91	278	16	14	15.9	14.1
0.89	250	16	14	15.8	14.2
0.88	246	16	14	15.8	14.2
0.87	240	16	14	15.8	14.2
0.79	165.5	16.1	13.9	15.7	14.3
0.78	155	16.2	13.8	15.7	14.3
0.78	154	16.2	13.8	15.7	14.3
0.78	153	16.2	13.8	15.7	14.3
0.77	149	16.2	13.8	15.6	14.4
0.73	122	16.2	13.8	15.6	14.4
0.72	112	16.2	13.8	15.5	14.5
0.71	105	16.3	13.7	15.5	14.5
0.70	101	16.3	13.7	15.5	14.5
0.70	98	16.3	13.7	15.5	14.5
0.69	97	16.3	13.7	15.5	14.5
0.68	88	16.3	13.7	15.4	14.6

Tanggal : 8 Juni 2011
 Diemter silinder : 2.54 cm
 Panjang silinder : 80 cm
 $H_{r\max}$: 16.3 cm
 $H_{r\min}$: 13.8 cm

T	L	$H_{r\max}$	$H_{r\min}$	$H_{t\max}$	$H_{t\min}$
0.98	355	15.6	14.5	15.8	14.3
0.97	344	15.6	14.5	15.8	14.3
0.92	283	15.7	14.4	15.7	14.4
0.91	278	15.7	14.4	15.7	14.4
0.91	278	15.7	14.4	15.7	14.4
0.89	250	15.7	14.4	15.7	14.4
0.88	246	15.7	14.4	15.7	14.4
0.86	226	15.7	14.4	15.6	14.5
0.85	216	15.7	14.4	15.6	14.5
0.76	142	15.8	14.3	15.5	14.6
0.75	133	15.8	14.3	15.5	14.6
0.74	129	15.8	14.3	15.4	14.7
0.74	127	15.8	14.3	15.4	14.7
0.73	121	15.8	14.3	15.4	14.7
0.73	118	15.8	14.3	15.4	14.7
0.72	111	15.8	14.3	15.4	14.7
0.71	109	15.8	14.3	15.4	14.7
0.70	101	15.8	14.3	15.4	14.7
0.70	98	15.8	14.3	15.3	14.8
0.69	97	15.8	14.3	15.3	14.8

Tanggal : 8 Juni 2011
 Diemter silinder : 2.54cm
 Panjang silinder : 40 cm
 $H_{r\max}$: 17 cm
 $H_{r\min}$: 12.8 cm

T	L	$H_{r\max}$	$H_{r\min}$	$H_{t\max}$	$H_{t\min}$
1.01	387	15.3	14.5	16.5	13.3
0.96	332	15.4	14.4	16.4	13.4
0.88	240.5	15.5	14.3	16.3	13.5
0.87	232	15.5	14.3	16.2	13.6
0.80	169	15.6	14.2	16.1	13.7
0.78	153	15.7	14.1	16.1	13.7
0.75	132	15.7	14.1	16.0	13.8
0.72	112	15.8	14	15.9	13.9
0.68	86	15.9	13.9	15.8	14.0
0.70	101	15.8	14	15.9	13.9
0.70	98	15.8	14	15.9	13.9
0.69	92	15.9	13.9	15.8	14.0
0.68	89	15.9	13.9	15.8	14.0
0.68	89	15.9	13.9	15.8	14.0
0.63	63	16	13.8	15.7	14.1
0.66	75	15.9	13.9	15.7	14.1
0.65	74	15.9	13.9	15.7	14.1
0.64	66	16	13.8	15.7	14.1
0.62	55	16.1	13.7	15.6	14.2
0.60	47	16.1	13.7	15.5	14.3

Tanggal : 8 Juni 2011
 Diemter silinder : 2.54cm
 Panjang silinder : 40 cm
 $H_{r\max}$: 16.5 cm
 $H_{r\min}$: 13.2 cm

T	L	$H_{r\max}$	$H_{r\min}$	$H_{t\max}$	$H_{t\min}$
0.98	355	15.5	14.2	16.1	13.6
0.91	278	15.6	14.1	16.0	13.7
0.89	250	15.6	14.1	16.0	13.7
0.88	246	15.6	14.1	15.9	13.8
0.87	240	15.6	14.1	15.9	13.8
0.86	225	15.7	14	15.9	13.8
0.82	191	15.7	14	15.8	13.9
0.82	190	15.7	14	15.8	13.9
0.80	177	15.7	14	15.8	13.9
0.80	173	15.7	14	15.8	13.9
0.79	167	15.7	14	15.8	13.9
0.78	154	15.8	13.9	15.8	13.9
0.76	142	15.8	13.9	15.7	14.0
0.76	138	15.8	13.9	15.7	14.0
0.75	133	15.8	13.9	15.7	14.0
0.73	122	15.8	13.9	15.7	14.0
0.64	66	16	13.7	15.4	14.3
0.63	62	16	13.7	15.4	14.3
0.62	58	16	13.7	15.4	14.3
0.59	44	16.1	13.6	15.3	14.4

Tanggal : 8 Juni 2011
 Diemter silinder : 2.54cm
 Panjang silinder : 40 cm
 $H_{r\max}$: 16 cm
 $H_{r\min}$: 13.8 cm

T	L	$H_{r\max}$	$H_{r\min}$	$H_{t\max}$	$H_{t\min}$
0.99	366	15.3	14.5	15.8	14.0
0.99	362	15.3	14.5	15.8	14.0
0.91	278	15.3	14.5	15.7	14.1
0.89	257	15.3	14.5	15.7	14.1
0.87	240	15.3	14.5	15.6	14.2
0.85	221	15.3	14.5	15.6	14.2
0.85	216	15.3	14.5	15.6	14.2
0.80	169	15.4	14.4	15.5	14.3
0.78	153	15.4	14.4	15.5	14.3
0.75	132	15.4	14.4	15.4	14.4
0.72	112	15.4	14.4	15.4	14.4
0.68	89	15.5	14.3	15.3	14.5
0.68	87	15.5	14.3	15.3	14.5
0.66	78	15.5	14.3	15.3	14.5
0.66	75	15.5	14.3	15.3	14.5
0.64	66	15.5	14.3	15.2	14.6
0.63	62	15.5	14.3	15.2	14.6
0.61	53	15.5	14.3	15.2	14.6
0.60	49	15.5	14.3	15.1	14.7
0.60	48	15.5	14.3	15.1	14.7